#### МИНИСТЕРСТВО ОБРАЗОВАНИЯ И НАУКИ РЕСПУБЛИКИ КАЗАХСТАН

Казахский национальный исследовательский технический университет имени К.И. Сатпаева

Институт энергетики и машиностроения

Кафедра «Энергетика»

#### ДИПЛОМНАЯ РАБОТА

на тему: "Электроснабжения цеха бумагоделательно производства ТОО «Kagazy Recycling»"

5В071800-«Электроэнергетика»

Выполнил:

Мұхамеджанов Т.Е.

сениор лектор

Научный руководитель

«2с» озыме 2022г.

К.А. Баянбаев

Рецензент

Доцент, канд.техн.наук

С.А. Юсупова

(25)» \_\_\_\_\_\_2022r.

#### МИНИСТЕРСТВО ОБРАЗОВАНИЯ И НАУКИ РЕСПУБЛИКИ КАЗАХСТАН

Казахский национальный исследовательский технический университет имени К.И. Сатпаева

> Институт энергетики и машиностроение Кафедра «Энергетика»

#### **УТВЕРЖДАЮ**

Заведующий кафедрой PhD, ассоц. профессор

> Е.А. Сарсенбаев 2022г.

#### ЗАДАНИЕ

#### на выполнение дипломной работы

Обучающемуся Мухамеджанов Тимур

Тема <u>Электроснабжение цеха бумагоделательного производства ТОО</u> «Kagazy Recycling»

Утверждена приказом проректора университета №332 - Б от «22» февраля 2022г.

Срок сдачи законченной работы: «30» мая 2022 г

Исходные данные к выполнению дипломной работы: <u>Питание может быть</u> осуществлено от подстанции энергосистемы, на которой установлен трехобмоточных трансформатор мощностью 1,6 MBA, напряжением 110/10 кВ. Реактивное сопротивление системы на стороне 10 кВ, отнесенное к мощности системы, 0,02. Расстояние от подстанции энергосистемы до завода 0,56 км.

Перечень подлежащих разработке вопросов или краткое содержание дипломной работы:

- а) Расчет электрических нагрузок цеха;
- б) Сравнение вариантов внешнего электроснабжения цеха переработки макулатуры;
- в) Выбор оборудования и расчет токов короткого замыкания;

Перечень графического материала: <u>Графический материал подготовить в</u> виде презентации

Рекомендуемая литература: 10 наименований.

# **ГРАФИК** подготовки дипломной работы

Наименования разделов, перечень рассматриваемых вопросов	Сроки представления научному руководителю	Примечание
Общая часть	06.05,20222	fre
Практическая часть	13.05,20222	Uni

# **Подписи** консультантов и нормоконтролера на законченную дипломную работу с указанием относящихся к ним разделов работы

Наименования	Научный руководитель и	Дата	Подпись
разделов	консультанты	подписания	
** ,			,
Общая часть	Баянбаев К. А.,	25.05,2002	le le
	сениор-лектор		
Практическая часть	Баянбаев К. А.,	25.05.2002	lle
	сениор-лектор	25,25,200	/
Нормоконтроль	Бердибеков А.О.,		00 04
	сениор-лектор	25.05. 2022	Lancarl

Научный руководитель	(подпись)	/ К. А.Баянбаев
Задание принял к испол	MI	_ / Т.Е Мұхамеджанов
Дата «24» 01 2	022г.	

#### **АНДАТПА**

Диссертация бөлімдер мен бөлімшелерден тұрады, олардың құрамына қағаз өндірісінің электрмен жабдықтау жүйесін жобалаудың маңызды аспектілері көрсетілген. Жобаны есептеу «Нұсқаулықтарға» сәйкес электр жүктемесін анықтаудан басталады және максималды әдіс бойынша. Болашақта біз трансформаторлық қосалқы станциялардың саны мен сыйымдылығын және техникалық есептеулердің нәтижелері бойынша семинардың электрмен жабдықтау схемаларын таңдауды бастаймыз. Өнеркәсіптік кәсіпорынның есебімен жүргізілген заманауи электрмен жабдықтау жүйесі бірқатар талаптарға, тиімділік пен сенімділік, қауіп-қатер, қауіпті және пайдалану ыңғайлылығы.

#### **АННОТАЦИЯ**

В дипломной работе мною был произведён расчет электроснабжения цеха переработки макулатуры. Дипломная работа состоит из разделов и подразделов наименования которых отображают значимые аспекты проектирования системы электроснабжения цеха бумагоделательного производства. Расчет проекта начинается с определения электрических нагрузок согласно "Руководящим коэффициентом использования и указаниям" методом максимума. дальнейшем начинаем выбор числа и мощности трансформаторных подстанций и схемы электроснабжения цеха по результатам технических расчетов. Рационально выполненная современная система электроснабжения промышленного предприятия должна удовлетворять ряду требований, как экономичность и надежность, безопасность и удобства использования, возможность расширения производства с минимальными изменениями схемы электроснабжения.

#### **ANNOTATION**

In the thesis, I made a calculation of the power supply of the workshop work shop. The thesis consists of sections and subdivisions of which are displayed by significant aspects of designing the power supply system of a workshop of paper production. The calculation of the project begins with the determination of electrical loads in accordance with the "guidelines" by the method of use and the maximum. In the future, we begin the choice of the number and capacity of transformer substations and the power supply schemes for the workshop according to the results of technical calculations.

# СОДЕРЖАНИЕ

	Введение	7
1	Общая часть	8
1.1	Постоянная часть бумагоделательной машины	8
1.2	Бумагоделательная машина № 2	8
1.3	Грубая регулировка профиля	8
1.4	Сеточная часть	9
1.5	Прессовая часть	9
1.6	Сушильная часть	10
1.7	Накат	10
1.8	Паро-конденсатная система	11
1.9	Исходные данные к проекту	12
1.10	Таблица – 1 Электрические нагрузки по цеху	12
2	Расчет электрических нагрузок по цеху	13
2.1	Расчет силовых нагрузок цеха	13
2.2	Выбор числа цеховых трансформаторов и компенсация	17
	реактивной мощности на напряжение 0,4 кВ	
2.3	Уточненный расчет электрических нагрузок по цеху	21
2.4	Расчет компенсации реактивной мощности на шинах 10 кВ	22
3	Сравнение схем внешнего электроснабжения	24
3.1	Расчет схемы внешнего электроснабжения для 1 варианта	24
3.1.1	Выбор высоковольтной аппаратуры и расчет токов короткого	26
	замыкания для 1 варианта	
3.1.2		28
3.2	Расчет схемы внешнего электроснабжения для 2 варианта	32
3.2.1	Выбор высоковольтной аппаратуры и расчет токов короткого	34
	замыкания для 2 варианта	
3.2.2	Капитальные затраты 2 варианта	35
4	Специальная часть, Энергосберегающие технологии на	40
	предприятиях целлюлозно-бумажной промышленности	
4.1	Термодинамический анализ сушильной бумагоделательной	40
	машины	
4.2	Тепловой расчет сушильной части бумагоделательной машины	43
4.3	Эксергический баланс сушильной части бумагоделательной	44
	машины	
4.4	Энергосбережение в сушильной части бумагоделательной	46
	машины	
	Заключение	51
	Список использованной литературы	52

# **ВВЕДЕНИЕ**

Развитие строительства электрических станций повлекло за собой необходимость проектирования систем электроснабжения.

Для расчета и проектирования цеховых сетей, выбора количества мощности цеховых трансформаторов и трансформаторных подстанций созданы специальные методы, разработана методика определения электрических нагрузок и т.д. Но, несмотря на это, в области ЭПП существуют проблемы, которые необходимо решать:

- Рациональное построение систем ЭПП;
- Компенсации реактивной мощности в системах ЭПП;
- Применение переменного тока, оперативного, для РЗА;
- Корректное нахождение ожидаемых электрических нагрузок;
- Вопросы конструирования универсальных удобных в использования цеховых электрических сетей;
- Комплектное исполнение цеховых и общезаводских систем питания и конструкции подстанций.

Тема дипломного проекта «Электроснабжение цеха бумагоделательного производства».

Цель проекта: выбор приемлемой в экономическом и технологическом плане схемы электроснабжения цеха бумагоделательного производства.

В зависимости от категории потребителей электроэнергии и особенностей технологического процесса зависит надёжность системы электроснабжения, неверная оценка особенностей технологического процесса может привести к снижению надежности системы электроснабжения и к ненужным тратам на лишнее резервирование. Проект содержит: расчет электрических нагрузок, выбор мощности трансформаторов и нахождение их местоположения, выбор и расчет питающих и распределительных подстанций, выбору электрооборудования. Решения учитывают категорию и надежности электроприемников и соответствуют требованиям ПУЭ и СНиП.

#### 1 Общая часть

## 1.1 Постоянная часть бумагоделательной машины

Постоянная часть бумагоделательной машины №2 производит отделку суспензии волокнистой массы, поставляемой из цеха подготовки массы и обработку сгущенных гауч—отходов сортирования.

В постоянной части происходит окончательное сортирование и эгализация массы перед напуском в сеточную часть.

Постоянная часть бумагоделательной машины №2 разделена на две самостоятельные линии

- 1) для отделки массы нижнего слоя
- 2) для отделки массы верхнего слоя

Целлюлозная и макулатурная массы подаются в дозах в приемный бассейн при помощи установленного уровня и запорных пневматических шаберов—задвижек. Для нижнего слоя в этих целях установлена емкость 50 кубометров, для верхнего слоя одна 30 кубометров. Подключение пневматических задвижек и уровней позволяет производить напуск только в один бассейн, только одно основное сырье.

## 1.2 Бумагоделательная машина №2

Напорные устройства (НАПОРНЫЙ ЯЩИК) -важнейший узел машины, от которого зависит однородность качества вырабатываемой продукции. Основная задача напорного устройства состоит в напуске бумажной массы непосредственно на движущуюся сетку машины. При этом оно должно обеспечивать: равномерную скорость истечения массы по всей ширине машины, однородность массы по концентрации, отсутствие завихрений и турбулентных движений в потоке, а также минимальную флокуляцию волокон. На верхнем сеточном столе установлен закрытый напорный ящик с воздушной подушкой, создаваемой компрессором.

# 1.3 Грубая регулировка профиля

Грубое изменение профиля бумаги можно отрегулировать локальным изгибанием линейки верхней губы помоши при высокоточных микрометрических домкратов. Они оснащены ручными колёсиками индикаторами часового типа на верхних концах шпинделей привода линейки верхней губы.

Верхняя губа прикреплена таким образом, что прижимается к передней поверхности передней части при помощи резьбовых шпилек, гаек и блоков через тарельчатые пружины, установленные во втулке.

Блоки, находящиеся на нижнем конце регулировочных штанг, вставлены в паз верхней губы и могут её при вертикальном движении изогнуть.

#### 1.4 Сеточная часть

Первое напускное устройство - гидравлический напорный ящик и на выходе из него образует на сетке бумажную ленту.

С помощью второго напускного устройства на предварительно обезвоженный волокнистый слой наносится еще один слой придания конечному продукту специальных свойств. Второй слой наносится с небольшой массой 1 м<sup>2</sup> (15-30 % от массы нижнего слоя), так как за сравнительно короткий период на участке между третьим отсасывающим ящиком и отсасывающим гауч-валом должна быть удалена вода как из этого слоя, так из предварительно обезвоженного полотна.

Сеточная часть состоит из нижней продольной сетки и сравнительно короткой верхней сетки. Такое расположение сеток создает эффективную зону формования картона, изготовляющих двухслойный картон.

# 1.5 Прессовая часть

Двухслойное бумажное полотно с сеточной части сухостью 20-22 % для дальнейшего обезвоживания подается в прессовую часть, где происходит сближение волокон между собой, обеспечивающее установление между ними связей, определяющих основные свойства бумажного листа (повышается объемный вес, снижается пористость, воздухопроницаемость, увеличивается механическая прочность по сопротивлениям: разрыву, излому и продавливанию.

Комбинированный пресс состоит из центрального двухкамерного отсасывающего вала и двух прижимных валов. Центральный вал диаметром 850 мм имеет регулируемую ширину отсасывания в диапазоне 2100-2400 мм. Отсасывание из камер выведено через трубы на вакуумный насос. К центральному валу прижимается прессовый вал под углом  $10^{\,0}$  от вертикальной оси и составляет первую зону прессования. Вал имеет диаметр 600 мм и резиновое покрытие.

#### 1.6 Сушильная часть

После прессовой части бумажное полотно поступает в сушильную часть бумагоделательной машины, где удаляется оставшаяся влага.

Сушильная часть двухъярусная и состоит из 30 сушильных цилиндров и 1 холодильного цилиндра.

Сушильная часть подразделяется на сушильные группы по приводу:

- 1-я сушильная группа с 1 по 6 сушильные цилиндры:
- 2-я сушильная группа с 8 по 15 сушильные цилиндры;

Янки-цилиндр

- 3-я сушильная группа с 16 по 20 сушильные цилиндры;
- 4-я сушильная группа 21 по 22 сушильные цилиндры;
- 5-я сушильная группа с 23 по 31 сушильные цилиндры.

Бумажное полотно при прохождении по бумаг-сушильным цилиндрам плотно прижимается к ним сушильными сетками, в процессе чего улучшаются такие свойства как механическая прочность, гладкость, объёмный вес, впитывающая способность, влаг прочность, степень проклейки, окраска бумаги. Сушильные сетки изготавливаются с использованием 100 % гидролиз стойких полиэфирных моно-нитей.

Основными факторами процесса сушки бумаги являются:

- скорость бумажной машины;
- свойства окружающего воздуха и система вентиляции;
- чистота стенок сушильного цилиндра снаружи и изнутри
- наличие в цилиндре воздуха и конденсата;
- натяжение сушильных сеток и их состояние;
- композиция бумаги и степень помола бумажной массы;
- сухость бумажного полотна после прессов;

#### 1.7 Накат

Далее бумажное поступает на гидравлический полотно бумажной предназначенный ДЛЯ наматывания ленты на выходе бумагоделательной машины, где наматывается на тамбурные валы. Накат состоит из чугунного цилиндра диаметром 740 мм к которому прикреплены стальные крышки с запрессованными в них цапфами, приемных направляющих рычагов, и системы прижима.

Приемные рычаги во время намотки переводят в начальное верхнее или нижнее положение. В них укладывается свободный тамбурный вал, на который будет наматываться следующий тамбур картона. К приемным рычагам крепятся гидроцилиндры, прижимающие тамбурный вал к цилиндру. Поворот приемных рычагов механизирован. Тамбурный вал диаметром 400 мм изготовлен из

стальной трубы впрессованными в нее чугунными патронами и стальными цапфами. После того как диаметр тамбура достигнет 730 мм, тамбур из приемных рычагов перекладывается

В направляющие, по которым тамбурный вал перекатывается в процессе дальнейшей намотки.

## 1.8 Паро-конденсатная система

Паро-конденсатная система предназначена для подачи необходимого количества пара на БДМ, четкого контроля над давлением пара, а также для непрерывного удаления конденсата и неконденсирующихся газов из сушильных цилиндров.

Выпуск качественной бумажной продукции во многом зависит от правильного управления паро-конденсатной системой.

Таблица 1.1 - Техническая характеристика паро-конденсатной системы

Наименование параметра	Единицы измерения	Значение
Расчетное давление пара	bar	5
Расчетная температура пара	°C	180
Максимальный расход пара	т/час	12
Номинальный расход пара	т/час	8
Стационарные сифоны в сушильных цилиндрах, по одному в каждом	30	30
Количество сушильных цилиндров	шт.	30
Количество холодильных цилиндров	ШТ	1
Количество сборников конденсата	шт.	8
Конденсатные насосы	шт.	2
Теплообменник сушильной части	шт.	1

Пар из котельной поступает в БДЦ по подземному тоннелю со стороны наката на коллектор, который, находится в помещении тепло рекуперации БДМ-2, оттуда пар подается на БДМ-2.

# 1.9 Исходные данные к проекту:

- 1) Сведения об электрических нагрузках по цехам завода
- 2) Питание может быть осуществлено от подстанции РЭС Алматинская область, Карарасайкий район, с. Абай, энергосистемы, на которой установлен трансформатор мощностью 1,6 MBA, напряжением 110/10 кВ. Реактивное сопротивление системы 0,02.
  - 3) Расстояние от подстанции энергосистемы до цеха 0,56 км.
  - 4) Завод работает в 2 смены.

# 1.10 Таблица 1.2 – Электрические нагрузки по цеху

	Кол–во ЭП,	Установленная		
Наименование	Kon-Bo Ott,	мощность		
	11	Одного ЭП, Рн	$\Sigma P_{\scriptscriptstyle \mathrm{H}}$	
1.Бумажная машина №2	143	0,37–200	4050	

## 2 Расчет электрических нагрузок по цеху

## 2.1 Расчет силовых нагрузок цеха

Все расчетные данные заносятся в таблицу 2.1. Число m находим по формуле:

$$m = \frac{P_{\text{H.MAKC}}}{P_{\text{H.MUH}}},\tag{1}$$

$$m = 200/0.37 = 540 > 3 -$$
 для БДМ,

где:  $P_{\text{н.макс}}$ ,  $P_{\text{н.мин}}$  — активные мощности наибольшего и наименьшего электроприёмников.

Коэффициент использования, подбирается по справочнику.

Для БДМ коэффициент использования равен:  $K_{\rm H} = 0.7$ ;

Коэффициент мощности, подбирается по справочнику, так же в знаменателе значение реактивной коэффициента мощности.

Значения для БДМ:

 $cos\varphi/tg\varphi = 0.8/0.75;$ 

Расчет средней активной нагрузки за наиболее загруженную смену:

$$P_{\rm CM} = K_{\rm M} \cdot \sum P_{\rm H}, \, \kappa {\rm BT} \tag{2}$$

$$P_{\text{см}} = 0.7 \cdot 4050 = 2835 \text{ кВт;}$$

где  $K_{\rm H}$  — коэффициент использования, значения из справочника;  $\sum P_{\rm H}$  — номинальная активная нагрузка

Расчет средней реактивной нагрузки за наиболее загруженную смену:

$$Q_{\rm cm} = P_{\rm cm} \cdot tg\varphi$$
, квар (3)

$$Q_{\text{см}} = 2835 \cdot 0.75 = 2126.25$$
 квар;

где  $P_{\rm cm}$  — средняя активная нагрузка за наиболее загруженную смену;

tg ф – реактивный коэффициент мощности.

Расчет эффективного числа электроприемников, в случае m>3

$$n_{\rm 3} = \frac{2 \cdot \sum P_{\rm H}}{P_{\rm H.MaKC}},\tag{4}$$

$$n_9 = \frac{2 \cdot 4050}{200} \approx 40,5.$$

а если число m меньше 3, то число электроприемников возьмем равным фактическому  $n_{9\varphi}=n.$ 

Коэффициент максимума определяется по графику в зависимости от  $n_9$  и  $K_{\rm u}$ , для БДМ коэффициент максимума равен:  $K_{\rm m}=1,12$ ;

Расчет максимальной активной нагрузки от силовых электроприемников:

$$P_{\rm p} = K_{\rm M} \cdot P_{\rm cM}, \kappa B_{\rm T} \tag{5}$$

$$P_{\rm p} = 1.12 \cdot 2835 = 3175.2 \,\mathrm{kBt};$$

где

 $K_{\rm M}$  — коэффициент максимума;

 $P_{\scriptscriptstyle{\text{CM}}}$  — средняя активная нагрузка за наиболее загруженную смену.

Расчет максимальной реактивной нагрузки от силовых электроприемников

—при 
$$n_{\text{\tiny 9}} \leq 10$$
, 
$$Q_{p} = 1.1 \cdot Q_{\text{\tiny CM}} \tag{6}$$

-при  $n_{9} > 10$ ,

$$Q_p = Q_{\rm CM} \tag{7}$$

Для БДМ так как  $n_{\rm s} > 10$ :

$$Q_p = Q_{\text{cm}} = 2126,25$$
 квар.

Полная максимальная нагрузка:

$$S_p = \sqrt{Q_{p0,4}^2 + P_{p0,4}^2}, \kappa BA \tag{8}$$

$$S_p = \sqrt{2126,25^2 + 3175,2^2} = 3821,36$$
 кВА.

где  $Q_{p0,4}$  — реактивная нагрузка на шинах 0,4 кВ;

 $P_{p0,4}$  — активная нагрузка на шинах 0,4 кВ.

Расчетный максимальный ток:

$$I_p = \frac{S_p}{\sqrt{3} \cdot U_H}, \kappa A \tag{9}$$

$$I_p = \frac{3821,36}{\sqrt{3} \cdot 0,4} = 5522,2 \text{ A}.$$

Расчет осветительной принимаем равной 10% от расчетной силовой нагрузки в цеху.

Таблица 2.1 – Расчет силовых нагрузок цеха

Наименование	Кол	Установлені	ная	m	$K_{\text{\tiny M}}$	Cosφ/	Средн	ие	$n_{\scriptscriptstyle 9}$	$K_{\mathrm{M}}$	Расчет	ные нагр	узки	$I_p$ , A
цехов	-во	мощность				$tq\varphi$	нагруз	вки						r
	ЭП, n	$P_{min} - P_{max}$	$\Sigma P_{H}$				<i>Р<sub>СМ,</sub></i> кВт	<i>Q<sub>СМ,</sub></i> квар			Р <sub>Р</sub> , кВт	$Q_P,$ квар	$S_p$ , к $BA$	
2	3	4	5	6	7	8	9	10	11	12	13	14	15	16
БДМ	143	$0,37 \div 200$	4050	>3	0,7	0,8/0,75	2835	2126,2		1,12	3175,2	2126,25	3821,23	5522,2
А) силовая								5	40,					
Б) осветительная									3		317,52	212,62	382,12	552,22
Итого по цеху												,	4203,35	
Освещение цеха											349,27	233,88	4203,33	191,83
Всего с учетом											3810	,	4623,68	
освещение											0010		.020,00	0001,00
$\Delta P_{\mathrm{T}}$ , $\Delta Q_{\mathrm{T}}$											36,1	227,16		
Нагрузка 0,4 кВ											3877,1	2799,92		
приведенная к														
шинам 10 кВ														
Всего по цеху											3877,1	2799,92	4623,68	6681,86

# 2.2 Выбор числа цеховых трансформаторов и компенсация реактивной мощности на напряжение 0,4 кВ

Верное нахождение числа и мощности цеховых трансформаторов возможно только путем технико-экономических расчетов с учетом следующих факторов: категории надежности электроснабжения потребителей; компенсации реактивных нагрузок на напряжении до 1кВ; перегрузочной способности трансформаторов в нормальном и аварийном режимах; шага стандартных мощностей; экономичных режимах работы трансформаторов в зависимости от графика нагрузки.

Данные для расчета:  $P_{p0.4}$ = 3810 кВт;

 $Q_{p0,4}$ = 2572,76 квар;

 $S_{p0,4} = 4623,28 \text{ kBA}.$ 

 $S_{H.mp}$  — принятая номинальная мощность трансформатора, выбирается по удельной плотности нагрузок:

$$S_{yz} = \frac{S_{p \ 0,4}}{F_{\text{IIexa}}}, \frac{\kappa BA}{M^2}$$
 (10)

при  $S_{yx}$  <0,2 применяются трансформаторы 630–1000 кВА,

при  $S_{yx}$  =0,2-0,3 применяются трансформаторы 1600 кВА,

при,  $S_{yд}>0,3$  применяются трансформаторы 2500 кВА.

$$S_{yz} = \frac{4623,28}{15942} = 0,29$$

Предприятие относится ко 2 категории потребителей, предприятие работает в четыре смены, следовательно, коэффициент загрузки трансформаторов  $K_{3тp}$ =0,8. Принимаем трансформатор мощностью  $S_{HT}$ =1600 кВА.

Для каждой технологически концентрированной группы цеховых трансформаторов одинаковой мощности минимальное их число, необходимое для питания наибольшей расчетной активной нагрузки, рассчитывается по формуле:

$$N_{\text{T min}} = \frac{P_{\text{p0,4}}}{K_3 \cdot S_{\text{HT}}} + \Delta N, \tag{11}$$

где  $P_{p\ 0,4}$  – суммарная расчетная активная нагрузка;

к<sub>3</sub> – коэффициент загрузки трансформатора;

 $S_{\mbox{\scriptsize HT}}$  – принятая номинальная мощность трансформатора;

 $\Delta N$  — добавка до ближайшего целого числа.

$$N_{\text{T min}} = \frac{3810}{0.8 \cdot 1600} + \Delta N = 3$$

Экономически целесообразное число трансформаторов определяется поформуле:

$$N_{T.9} = N_{T \min} + m, \tag{12}$$

где т – дополнительное число трансформаторов,

$$N_{T.3} = 3 + 0 = 3$$
 штуки.

К установке выбираю трансформатор типа ТСЗЛ 1600 кВА 10/0,4 кВ.

Таблица 2.2 – Характеристики трансформатора ТСЗЛ-1600-10/0,4

$U$ вн, к $\mathrm B$	<i>U</i> нн, кВ	Рхх, кВт	<i>Р</i> кз, кВт	Ixx, %	<i>U</i> кз, %
10	0,4	2,05	16	1,3	5,5

По выбранному числу трансформаторов определяем наибольшую реактивную мощность  $Q_1$ , которую целесообразно передать через трансформаторы в сеть напряжением до 1 кВ, определяется по формуле:

$$Q_1 = \sqrt{(N_{T.9} \cdot S_{HT} \cdot K_3)^2 - P_{p \ 0.4}^2}, \tag{13}$$

$$Q_1 = \sqrt{(3 \cdot 1600 \cdot 0.8)^2 - 3810^2} = 479,06$$
 кВар.

Из условия баланса реактивной мощности на шинах 0,4 кВ найдем величину  $Q_{\text{HБK1}}$ :

$$Q_{\rm HBK1} = Q_{p \ 0,4} - Q_1, \tag{14}$$

Отсюда

$$Q_{\rm HБK1} = 2572,76 - 479,06 = 2093,69$$
 кВар.

Найдем мощность одной батареи конденсаторов, приходящуюся на трансформатор:

$$Q_{\rm H \delta \kappa \, T\Pi} = \frac{Q_{\rm H \delta \kappa}}{N_{\rm T \, 3}}; \tag{15}$$

$$Q_{\text{нбк тп}} = \frac{2093,69}{3} = 697,89$$
 квар

Принимаем тип НБК: УК-0,4-750-У3.

На основании расчетов, полученных в данном пункте составляется таблица 2.3 — Распределение нагрузок цеха по ТП, в которой показано распределение низковольтной нагрузки по цеховым ТП.

Таблица 2.3 – Распределение низковольтной нагрузки цеха по ТП

№ ТП	№ЭП	Кол-	$P_{min}$	$\Sigma P_{H}$	$K_{\mu}$	Р <sub>см</sub> , кВт	$Q_{\scriptscriptstyle{CM}}$ квар	$n_{\scriptscriptstyle \ni}$	$K_{\mathrm{M}}$	Ρ <sub>p</sub> , кВт	$Q_{\rm p,}$ квар	$S_{\rm p}$ , к $B$ т	$K_3$
		воЭП	$-P_{max}$				,			•	* '	•	
ТП-4,6	1	143	$0,37 \div 200$	4050	0,7	2835	2126,25	40,5					
3x1600													
кВА													
Силовая	Я					2835	2126,25	40,5	1,12	3175,2	2126,25	3821,23	
Осветит	Осветительная									317,52	212,62	382,12	
ИТОГО	1								•	3492,72	2338,87	4203,35	0,79

# 2.3 Уточненный расчет электрических нагрузок по цеху

Нахождение потерь мощности в ТП

Выберем трансформаторы ТСЗЛ-1600:

$$U_B=10 \text{ kB}, U_H=0.4 \text{ kB}, P_{xx}=2,05 \text{ kBt}, P_{x3}=16 \text{ kBt}, I_{xx}=1,3\%, U_{x3}=5,5\%$$

ТП4-6

 $K_3 = 0.79$ 

N = 3

$$\Delta P_{\rm m} = (2.05 + 16 \cdot 0.79^2) \cdot 3 = 36.1 \text{ kBT}$$
 (16)

$$\Delta Q_{\rm m} = 0.01 \cdot (1.3 + 5.5 \cdot 0.79^2) \cdot 3 \cdot 1600 = 227.16 \text{ κBap}$$
 (17)

Потери в трансформаторах:

$$\sum P_{4-6} = 36,1 \text{ кВт}$$

$$\sum Q_{4-6} = 227.16$$
 кВар

**Таблица 2.4 - Результирующие электрические нагрузки цеховых трансформаторных подстанций** 

Наименование	Коэффициент	Расч	етная нагр	Количество и	
	реактивной	Р <sub>Р</sub> , кВт	Q <sub>P</sub> , кВар	S <sub>P</sub> , κBA	мощность
	мощности				трансформаторов
	$\cos \varphi$				Шт х кВА
КТП 4					
Нагрузки на	0,36	548,15	1429,51	1531,0	1x1600
стороне 0,4 кВ					
Потери в		7,8	43		
трансформаторах					
Итого нагрузки		555,95	1472,51		
на стороне 0,4 кВ					

Продолжение таб	блицы 2.4				
Наименование	Коэффициент	Расч	етная нагр	Количество и	
	реактивной	Р <sub>Р</sub> , кВт	Q <sub>P</sub> , кВар	S <sub>P</sub> , κBA	мощность
	мощности				трансформаторов
	$\cos \varphi$				Шт х кВА
КТП 5					
Нагрузки на	0,62	526,45	668,06	850,56	1x1600
стороне 0,4 кВ					
Потери в		10,26	56,4		
трансформаторах					
Итого нагрузки		536,71	722,46		
на стороне 0,4 кВ					
КТП 6					
Нагрузки на	0,69	615,89	647,83	893,87	1x1600
стороне 0,4 кВ					
Потери в		11,87	64,8		
трансформаторах					
Итого нагрузки		627,76	712,63		
на стороне 0,4 кВ					

Итого нагрузки на стороне 0,4 кВ РП-20 (КТП-4,5,6):

$$\sum P_{p} = P_{p} \cdot K_{o} = (555,95 + 536,71 + 627,76) \cdot 0,85 = 1462,35 \text{ kBt}$$
 (18)

Итого потребная мощность электроэнергии по цеху БМД-2 составляет

$$\sum P_{\rm p} = 1462,35 \; {\rm кВт.}$$

## 2.4 Расчет компенсации реактивной мощности на шинах 10 кВ

Расчет компенсации реактивной мощности на шинах 10 кВ КТП Составим схему замещения, показанную на рисунке 2

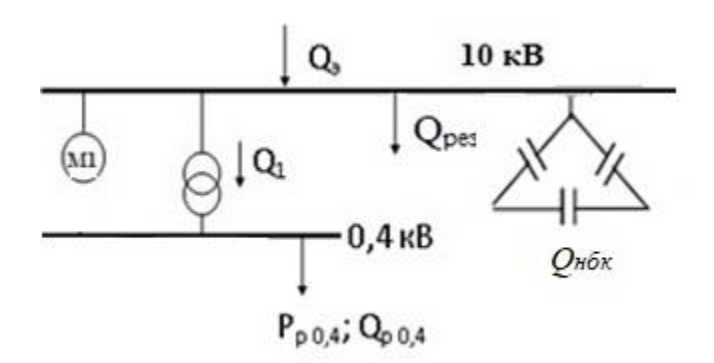


Рисунок 1 - Схема замещения

Мощность ВБК найдем из условия баланса реактивной мощности

$$Q_{\rm BBK} = Q_{\rm 9} + Q_{\rm HBK1} - Q_{\rm pe3} - Q_{\rm p0,4}, \tag{19}$$

Мощность, поступающая от энергосистемы

$$Q_3 = (0.23 \div 0.25)\Sigma P_{\rm p} = (0.23 \div 0.25) \cdot (P_{\rm p0,4} + \Delta P_{\rm Tp}), (20)$$
  
 $Q_3 = 0.24 \cdot (3810 + 36.1) = 923 \text{ kBt}$ 

Резервная мощность

$$Q_{\text{pe3}} = (0.1 \div 0.15) \Sigma Q_{\text{p}} = (0.1 \div 0.15) \cdot (Q_{\text{p0,4}} + \Delta Q_{\text{тр}}),$$
 (21) 
$$Q_{\text{pe3}} = 0.13 \cdot (2572.76 + 189.76) = 359.12 \text{ квар.}$$
 
$$Q_{\text{BБK}} = 923 + 697.89 - 359.12 - 2572.76 = -1310.9 \text{ квар.}$$

Установка высоковольтных батарей конденсаторов не потребуется.

## 3 Сравнение схем внешнего электроснабжения

Для оптимизации промышленного электроснабжения возникает необходимость сравнения множество вариантов, и поэтому для технико-экономического сравнения вариантов электроснабжения цеха рассмотрим два варианта:

- 1 вариант КЛ 10 кВ,
- 2 вариант КЛ 110 кВ.

# 3.1 Расчет схемы внешнего электроснабжения для І варианта (10 кВ)

Для данного варианта электрическая схема внешнего питания представлена на рисунке 2.1.

Выберем электрооборудование по I варианту.

Выберем трансформаторы КТП:

$$S_{\text{KTII}} = \sqrt{P_p^2 + Q_9^2},\tag{22}$$

$$S_{\text{KTII}} = \sqrt{3492,2^2 + 923^2} = 3611,92 \text{ kBA}.$$

Выберем три трансформатора мощностью 1600 кВА Коэффициент загрузки:

$$K_3 = \frac{S_{\text{KTII}}}{S_{\text{H}}},$$

$$K_3 = \frac{3611,92}{3 \cdot 1600} = 0,752$$
(23)

Паспортные данные трансформатора:

Тип т-ра ТСЗЛ-1600/10;

$$S_{H} = 1600 \text{ kBA}; \Delta P_{XX} = 2.8 \text{ kBt}; \Delta P_{K3} = 15 \text{ kBt}; U_{K3} = 5.5\%; I_{XX} = 0.7\%;$$

Потери мощности в трансформаторах:

Активной:

$$\Delta P_{TKT\Pi} = 2 \cdot (\Delta P_{xx} + \Delta P_{\kappa_3} \cdot K_3^2), \kappa B_T$$

$$\Delta P_{TKT\Pi} = 2 \cdot (2.8 + 15 \cdot 0.75^2) = 22.475 \, \kappa B_T$$
(24)

Реактивной:

$$\Delta Q_{TKT\Pi} = 0.02 \cdot (I_{xx} \cdot S_H + U_{K3} \cdot S_H \cdot K_3^2),$$
квар  $\Delta Q_{TT\Pi\Pi} = 0.02 \cdot (0.7 \cdot 1600 + 5.5 \cdot 1600 \cdot 0.75^2) = 12.4$  (25)

Выбираем КЛ-10

$$S_{\Pi \ni \Pi} = \sqrt{(P_{\rm p} + \Delta P_{\rm TKT\Pi})^2 + Q_{\ni}^2}, \tag{26}$$

$$S_{\text{ЛЭП}} = \sqrt{(3492,2+36,1)^2 + 923^2} = 3647,03 \text{ кBA}.$$

Расчетный ток, проходящий по одной линии:

$$I_{\rm p} = \frac{S_{\rm KJ10}}{2 \cdot \sqrt{3} \cdot U_{\rm H}}, A \tag{27}$$

$$I_{\rm p} = \frac{3647,03}{2 \cdot \sqrt{3} \cdot 10} = 105,2 \,\text{A}$$

Ток аварийного режима:

$$I_{\rm aB} = \frac{I_{\rm p}}{2}, A \tag{28}$$

$$I_{\text{aB}} = \frac{105,2}{2} = 52,64 \text{ A}.$$

По экономической плотности тока определяем сечение проводов:

$$F = \frac{I_{\rm p}}{j}, \text{MM}^2 \tag{29}$$

$$F = \frac{52,64}{1.4} = 37,6 \text{ mm}^2.$$

где  $j = 1,4 \, \text{А/мм}^2 - \text{экономическая}$  плотность тока согласно ПУЭ таб. 1.3.36 для кабельных линий.

После выполненных мной расчетов принимаю кабель марки АСБ-10 кВ – (3х150) мм² расположив в траншее:  $I_{\text{доп}}=275$  А,  $x_0=0.079$  Ом/км ,  $r_0=0.206$  Ом/км.

Далее производим расчет проверки выбранного мною провода по 2 условиям:

Проверим выбранные провода по допустимому току.

1) При расчетном токе:

$$3 \cdot I_{\text{доп}} > I_{\text{p}},$$
 (30)  
 $3 \cdot 275 = 825 > 52,64 \text{ A};$ 

2) При аварийном режиме:

$$1,3 \cdot I_{\text{доп}} > I_{\text{ав}},$$
 (31)  
 $1,3 \cdot 825 = 1072,5 > 37,6 \text{ A}.$ 

Данный провод подходит по всем параметрам.

3.1.1 Выбор высоковольтной аппаратуры и расчет токов короткого замыкания для I варианта

Расчет токов короткого замыкания будем производить в относительных единицах по схеме замещения 1 варианта:

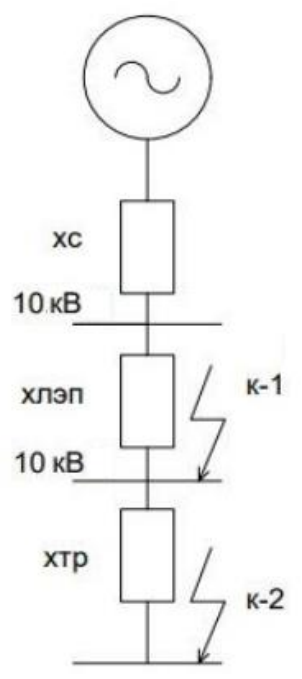


Рисунок 2 – Схема замещения 1 варианта

 $S_6=10$  MBA,  $U_6=10$ ,5 кВ, Находим значение тока короткого замыкания:

$$I_6 = \frac{S_6}{\sqrt{3} \cdot U_6},\tag{32}$$

$$I_6 = \frac{10}{1,73 \cdot 10,5} = 0,55 \text{ KA}$$

$$x_{\pi} = x_0 l \frac{S_6}{U_{\rm cp}^2}, \tag{33}$$

$$x_{\pi} = 0.079 \cdot 0.56 \cdot \frac{10}{10.5^2} = 0.004 \text{ o. e.}$$

$$x_{T} = \frac{u_{K\%} \cdot S_{6}}{100 \cdot S_{H}}, \tag{34}$$

$$x_{T} = \frac{6 \cdot 10}{100 \cdot 1.6 \cdot 3} = 0.125$$

Действующее значение тока к.з. в точках К1, К2:

$$I_{K-1} = \frac{I_6}{X_n},\tag{35}$$

$$I_{K-1} = \frac{0.55}{0.004} = 137.5 \text{ A}$$

$$I_{K2} = \frac{I_6}{X_C + X_T + X_T},\tag{36}$$

$$I_{\text{K2}} = \frac{0,55}{0,02 + 0,125 + 0,004} = 3,69 \text{ A}$$

Ударный ток КЗ в точках 1 и 2:

$$i_{v\pi 1} = K_{v\pi} \cdot \sqrt{2} \cdot I_{\kappa 1},\tag{37}$$

$$i_{\text{V}\pi 1} = 1.8 \cdot 1.41 \cdot 137.5 = 348.9 \text{ A}$$

$$i_{\text{VA}2} = K_{\text{VA}} \cdot \sqrt{2} \cdot I_{\text{K2}},\tag{38}$$

$$i_{\text{VA}2} = 1.8 \cdot 1.41 \cdot 3.69 = 9.36 \text{ A}.$$

Рассчитывается мощность в точках К1 и К2:

$$S_{\rm K1} = \sqrt{3} \cdot U_{\rm H} \cdot I_{\rm K1},\tag{39}$$

$$S_{\text{K1}} = \sqrt{3} \cdot 10.5 \cdot 0.137 = 2.48 \text{ MBA},$$
 
$$S_{\text{K2}} = \sqrt{3} \cdot U_{\text{H}} \cdot I_{\text{K2}},$$
 (40) 
$$S_{\text{K2}} = \sqrt{3} \cdot 10.5 \cdot 0.0037 = 0.07 \text{ MBA}.$$

Выбор защитной аппаратуры осуществляется по следующим условиям:

Таблица 3.1 - Данные выключателя ВНР-10/400

Условия выбора	Паспортные данные	Расчетные данные
$U_{\rm H} \ge U_{\rm p}$ , кВ	10	10
$I_{\rm H} \geq I_{\rm ab}, A$	400	37,6
$I_{\text{OTK}} \ge I_{\text{K1}}, A$	800	137,5
$I_{\text{дин}} \geq i_{\text{уд2}}, A$	25	9,36

Таблица 3.2 – Данные разъединителя РЛК – 1a-II(IV) -10/400- УХЛ1

Условия выбора	Паспортные данные	Расчетные данные
$U_{\rm H} \geq U_{\rm p}, {\rm кB}$	10	10
$I_{\rm H} \geq I_{\rm ab}, A$	400	37,6
$I_{\text{CKB}} \geq i_{\text{уд2}}, A$	41 кА	9,36
$I_{\text{дин}} \ge I_{\kappa 2}, A$	51 кА	3,69

Таблица 3.3 – Данные предохранителя ПВР00-160/3-20 УХЛЗ

Условия выбора	Паспортные данные	Расчетные данные
$U_{\rm H} \geq U_{\rm p}$ , кВ	10	10
$I_{\text{OTK}} \ge I_{\text{K2}}, A$	25	3,69
$I_{\text{\tiny \PiB}} \geq i_{\text{\tiny YJ}2}, A$	400	348,9

Таблица 3.4 – Данные заземлитель ЗР-10 УЗ

Условия выбора	Паспортные данные	Расчетные данные
$U_{\rm H} \geq U_{\rm p}$	10	10
$I_{\text{скв}} \geq i_{\text{уд2}}$ , А	16	9,36
$I_{\text{Tem cT}} \ge I_{\text{k2}}$ , A	90	3,69

## 3.1.2 Капитальные затраты 1 варианта.

Определим капитальные затраты на оборудование 1 варианта: Затраты на трансформаторы КТП:

$$K_{\text{тр}}KT\Pi = n_{\text{кл}} \cdot N_{\text{ст}}, \text{млн. тг.,}$$
 (41)

$$K_{\text{тр}} \text{К} \text{T} \Pi = 3 \cdot 21 = 63 \text{ млн. т} \Gamma$$

Затраты на КЛ 10 кВ

$$K_{KJ10} = L \cdot N_{CT}$$
, млн. тг., (42)

$${
m K_{KJI10}}=(0.035+0.02+0.03)\cdot 0.9=0.07$$
 млн. тг

Затраты на выключатели

$$K_{\text{выкл}} = n_{\text{кл}} \cdot N_{\text{ст}}, \text{млн. тг.,}$$
 (43)

$$K_{\text{выкл}} = 3 \cdot 0.5 = 1.5$$
 млн. тг.

Затраты на предохранители

$$K_{\text{од}} = n_{\text{кл}} \cdot N_{\text{ст}}, \text{млн. тг.,}$$
 (44)

$$K_{\text{од}} = 3 \cdot 0.9 = 2.7$$
 млн. тг.

Затраты на заземлитель

$$K_{K3} = n_{KJ} \cdot N_{CT}$$
, млн. тг., (45)

$$\mathrm{K_{k3}} = 3 \cdot 0.85 = 2.55$$
 млн. тг.

Затраты на разъединители

$$K_{p3} = n_{\kappa \pi} \cdot N_{cT}$$
, млн. тг., (46)

$$K_{p3} = 6 \cdot 1,1 = 6,6$$
 млн. тг.

Суммарные затраты

$$K_1 = K_{Tp} + K_{KJI} + K_{BыKJ} + K_{II} + K_{3} + K_{p3}$$
, млн. тг., (47)

$$K_1 = 63 + 0.07 + 1.5 + 2.7 + 2.55 + 6.6 = 76.42$$
 млн. тг.

Амортизационные отчисления  ${\rm H}_{\rm a.o6}$  на оборудование, рассчитываются по формуле

$$\mathsf{M}_{\text{a.об.}} = \mathsf{E}_{\text{a.об.}} \cdot \mathsf{K}_{\text{об}} = \mathsf{E}_{\text{a.об.}} \cdot \left(\mathsf{K}_{\text{тр}} + \mathsf{K}_{\text{выкл}} + \mathsf{K}_{\Pi} + \mathsf{K}_{\text{к3}} + \mathsf{K}_{\text{р3}}\right), \text{млн. тг.,}$$

$$\mathsf{M}_{\text{a}} = 0.063 \cdot (63 + 1.5 + 2.7 + 2.55 + 6.6) = 4.81 \, \text{млн. тг.}$$

Амортизационные отчисления на КЛ

$$\mathsf{И}_{\mathsf{a.KJ}} = \mathsf{E}_{\mathsf{a.KJ}} \cdot \mathsf{K}_{\mathsf{KJ}}, \mathsf{млн.} \, \mathsf{тг.},$$

$$\mathsf{I}_{\mathsf{a.KJ}} = \mathsf{0.02} \cdot \mathsf{0.07} = \mathsf{0.0014} \, \mathsf{млн.} \, \mathsf{тг.}$$

Издержки на эксплуатацию оборудования

$$M_{\text{эксп.обор.}} = E_{\text{эксп.обор}} \cdot K_{\text{обор}}, \text{млн. тг.,}$$

$$M_{\text{эксп.обор.}} = 0,3 \cdot 26,45 = 7,93 \text{ млн. тг.}$$

Издержки на эксплуатацию КЛ

$$M_{\text{эксп.КЛ.}} = E_{\text{эксп.КЛ}} \cdot K_{\text{КЛ}}, \text{млн. тг.,}$$

$$M_{\text{эксп.КЛ.}} = 0.02 \cdot 0.07 = 0.0014 \text{ млн. тг.}$$

Потери энергии при двусменном режиме работы будут  $T_{\text{вкл}} = 4000$ ч.  $T_{\text{макс}} = 4000$ ч. Значит время максимальных потерь рассчитываем по формуле

$$\tau = (0.124 + T_{M} \cdot 10^{-4})^{2} \cdot 8760,$$

$$\tau = (0.124 + 4000 \cdot 10^{-4})^{2} \cdot 8760 = 2405.29$$
(52)

Потери активной энергии в трансформаторе рассчитывается по формуле:

$$\Delta W_{\text{TD,KTII}} = 2 \cdot (\Delta P_{\text{XX}} \cdot T_{\text{BKJ}} + \Delta P_{\text{K3}} \cdot \tau \cdot \text{K}_3^2), \text{KBTY}$$
 (53)

$$\Delta W_{\text{тр.ктп}} = 2 \cdot (2,8 \, \cdot 4000 + 15 \cdot 2405,29 \cdot 0,75^2) = 62989,26 \, \text{кВтч}$$

Потери электрической энергии в КЛ 10 кВ:

$$\Delta W_{\text{КЛ10}} = N \cdot 3 \cdot I_p^2 \cdot R \cdot 10^{-3} \cdot \tau$$
, кВтч (54)

$$\Delta W_{\mathrm{KJI}10} = 3 \cdot 3 \cdot 105,2^2 \cdot 0,27 \cdot 10^{-3} \cdot 2405,29 = 64685$$
 кВтч

При средней стоимости электроэнергии  $C_0 = 14$ тг/кВтч,, определим издержки на потери электроэнергии:

$$\mathsf{U}_{\text{пот}} = \mathsf{C}_0 \cdot \left( \Delta W_{\text{тр.ктп}} + \Delta W_{\text{КЛ10}} \right), \text{млн. тг.} \tag{55}$$

$$\mathsf{H}_{\text{пот}} = 14 \cdot (62989,26 + 64685) = 1,787$$
 млн. тг.

Определим суммарные издержки:

$$\Sigma H_1 = H_{\text{эксп.КЛ}} + H_{\text{пот}} + H_{\text{экс.обор.}} + H_{\text{а.КЛ}} + H_{\text{а.об}}, \text{млн, тг}$$
 (56)

$$\Sigma$$
И<sub>1</sub> = 0,0014 + 1,787 + 7,93 + 0,01 + 0,0014 = 9,727 млн. тг.

Приведенные затраты являются мерой стоимости и определяются по выражению:

$$3_1 = E \cdot K_1 + И_1$$
, млн. тг, (57)

Где

Е = 0,12-нормальный коэффициент капиталовложений

$$3_1 = 0.12 \cdot 76.42 + 9.727 = 18.897$$
 млн. тг.

# 3.2 Расчет схемы внешнего электроснабжения для II варианта (110 кВ)

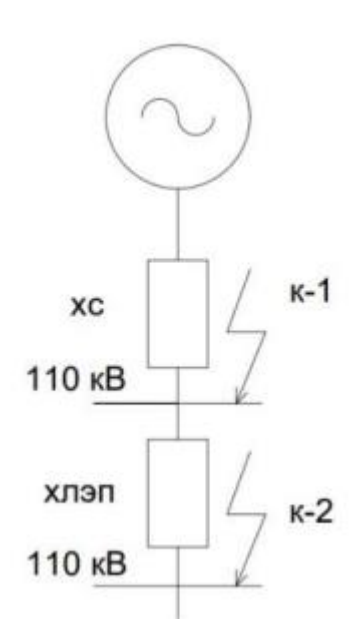


Рисунок 3 — Схема замещения расчета короткого замыкания для 2 варианта

Расчет токов к.з. для 2 варианта аналогично производим расчет по формулам I варианта также в относительных единицах по рисунку 4 и уже с помощью данного трансформатора.

Выберем электрооборудование по 2 варианту.

Выберем трансформаторы КТП:

$$S_{KT\Pi} = \sqrt{P_p^2 + Q_9^2};$$
 (58)  
 $S_{KT\Pi} = \sqrt{3492,2^2 + 923^2} = 3611,92 \text{ kBA}.$ 

Выберем трансформатор мощностью 10000 кВА.

Коэффициент загрузки:

$$K_3 = \frac{S_{\Gamma\Pi\Pi}}{S_H},$$
 (59)  
 $K_3 = \frac{3611,92}{10000} = 0,3611$ 

Паспортные данные трансформатора:

Тип т-ра ТДН-10000/115;  $S_{_{\rm H}}=10000~\kappa BA;~U_{_{\rm BH}}=115~\kappa B;~U_{_{\rm HH}}=10,5~\kappa B;~\Delta P_{_{\rm XX}}=14~\kappa B\tau;$   $\Delta P_{_{\rm K3}}=58~\kappa B\tau;~U_{_{\rm K3}}=10,5\%;~I_{_{\rm XX}}=0,9\%;$ 

Потери мощности в трансформаторе: Активной:

$$\Delta P_{TKT\Pi} = 2 \cdot (\Delta P_{xx} + \Delta P_{\kappa_3} \cdot K_3^2);$$

$$\Delta P_{TKT\Pi} = 2 \cdot (14 + 58 \cdot 0.36^2) = 21.51 \text{ kBt}.$$
(60)

Реактивной:

$$\Delta Q_{T\Gamma\Pi\Pi} = 0.02 \cdot (I_{xx} \cdot S_H + U_{K3} \cdot S_H \cdot K_3^2); \tag{61}$$

$$\Delta Q_{\text{ТГПП}} = 0.02 \cdot (0.9 \cdot 10000 + 10.5 \cdot 10000 \cdot 0.36^2) = 452.16$$
 квар

Выбираем КЛ-10

$$S_{KJI} = \sqrt{(P_p + \Delta P_{TKTII})^2 + Q_3^2}, \kappa BA$$
 (62)

$$S_{\text{KJI}} = \sqrt{(3492,2+36,1)^2 + 923^2} = 3647,03 \text{ KBA}.$$

Расчетный ток, проходящий по одной линии:

$$I_{\rm p} = \frac{S_{\rm KJ10}}{2 \cdot \sqrt{3} \cdot U_{\rm H}}, A \tag{63}$$

$$I_{\rm p} = \frac{3647,03}{2 \cdot \sqrt{3} \cdot 110} = 9,57 \,\text{A}$$

Ток аварийного режима:

$$I_{\text{aB}} = \frac{I_{\text{p}}}{2}$$
, A (64)  
 $I_{\text{aB}} = \frac{9,57}{2} = 4,785$ A.

По экономической плотности тока определяем сечение проводов:

$$F = \frac{I_{\rm p}}{j}, \text{MM}^2 \tag{65}$$

$$F = \frac{9,57}{1.4} = 6,83 \text{ mm}^2.$$

где  $j = 1,4 \, \text{А/мм}^2 -$  экономическая плотность тока согласно ПУЭ таб. 1.3.36 для кабельных линий.

После выполненных мною расчетов принимаю кабель марки АСБ-10 кВ – (3х240) мм² расположив в траншее:  $I_{\text{доп}}=314$  А,  $x_0=0.075$  Ом/км ,  $r_0=0.129$  Ом/км.

Проверим выбранные провода по допустимому току.

1) При расчетном токе:

$$3 \cdot I_{\text{доп}} > I_{\text{p}}, A$$
 (66)  
 $3 \cdot 314 = 942 > 9.57 A$ :

2) При аварийном режиме

$$1,3 \cdot I_{\text{доп}} > I_{\text{ав}}, A$$
 (67)  
 $1,3 \cdot 942 = 1224,6 > 4,785 \text{ A}.$ 

Данный кабель подходит по всем параметрам.

3.2.1 Выбор высоковольтной аппаратуры и расчет токов короткого замыкания 2 варианта.

Выбор высоковольтной защитной аппаратуры производится по тем же условиям что и в первом варианте:

Таблица 3.5 – Данные выключателя ВРС110-2500 УХЛ1

Условия выбора	Паспортные данные	Расчетные данные
$U_{\rm H} \geq U_{\rm p}$	115 кВ	115 кВ
$I_{\rm H} \geq I_{\rm aB}$	2500 A	4,785 A
$I_{\text{OTK}} \ge I_{\text{K1}}$	31,5 кА	137,5 кА
$I_{\text{дин}} \ge i_{\text{уд1}}$	81 кА	9,36 кА

Таблица 3.6 – Данные разъединителя РНД(3)-110/630Т1

Условия выбора	Паспортные данные	Расчетные данные
$U_{\rm H} \ge U_{\rm p}$ , кВ	110	115
$I_{\rm H} \geq I_{\rm aB},  {\rm A}$	630	37,6
$I_{\text{CKB}} \geq i_{\text{уд2}},  \text{A}$	100 кА	9,36
$I_{\text{терм}} \ge I_{\text{K2}}, A$	100 κΑ	3,69

Таблица 3.7 – Данные ОПН-110/88- 10/650(II)

Условия выбора	Паспортные данные	Расчетные данные
$U_{\rm H} \geq U_{\rm p}$	110 B	115 B
$I_{ m пропуск} \ge i_{ m уд1}$	650 A	348,9 A

**Таблица 3.8 – Данные заземлитель ЗОН-110М(У)(Т)-1(11)У1** 

Условия выбора	Паспортные данные	Расчетные данные
$U_{\rm H} \geq U_{\rm p}$	110	115
$I_{\rm H} \geq I_{\rm ab},  {\rm A}$	400	37,6
$I_{\text{скв}} \geq i_{\text{уд2}}$ , А	16	9,36
$I_{\text{Tem CT}} \ge I_{\text{K2}}$ , A	6,3	3,69

Капитальные затраты 2 варианта производим по примеру первого варианта и вносим в таблицу.

# 3.2.2 Капитальные затраты 2 варианта

Определим капитальные затраты на оборудование 2 варианта:

Затраты на трансформаторы КТП:

$$K_{\text{тр}}KT\Pi = n_{\text{кл}} \cdot N_{\text{ст}}, \text{млн. тг.,}$$
 (68)

$$\mathrm{K_{Tp}KT\Pi} = 1\cdot55 = 55$$
 млн. тг

Затраты на КЛ 10 кВ:

$$K_{KJ10} = L \cdot N_{CT}$$
, млн. тг., (69)

$$\mathrm{K}_{\mathrm{KJI}10} = (0.035 + 0.02 + 0.03) \cdot 0.9 = 0.07$$
 млн. тг

Затраты на выключатели:

$$K_{\text{выкл}} = n_{\text{кл}} \cdot N_{\text{ст}}, \text{млн. тг.},$$
 (70)

$$K_{\text{выкл}} = 1 \cdot 0.5 = 0.5$$
 млн. тг.

Затраты на предохранители:

$$K_{\text{од}} = n_{\text{кл}} \cdot N_{\text{ст}}, \text{млн. тг.},$$
 (71)   
 $K_{\text{ол}} = 1 \cdot 0.9 = 0.9 \text{ млн. тг.}$ 

Затраты на заземлитель:

$$K_{\text{K3}} = n_{\text{KЛ}} \cdot N_{\text{CT}},$$
 млн. тг., (72)  $K_{\text{K3}} = 1 \cdot 0.85 = 0.85$  млн. тг.

Затраты на разъединители:

$$K_{p3} = n_{KJ} \cdot N_{CT}$$
, млн. тг., (73)  $K_{p3} = 2 \cdot 1, 1 = 2, 2$  млн. тг.

Суммарные затраты:

$$K_1 = K_{\text{тр}} + K_{\text{КЛ}} + K_{\text{выкл}} + K_{\pi} + K_3 + K_{\text{рз}}, \text{млн. тг.},$$
 (74)  
 $K_1 = 55 + 0.07 + 0.5 + 0.9 + 0.85 + 2.2 = 59.52 \text{ млн. тг.}$ 

Амортизационные отчисления  ${\rm H_{a.o6}}$  на оборудование, рассчитываются по формуле:

$$\mathcal{U}_{\text{а.об.}} = \mathcal{E}_{\text{а.об.}} \cdot \mathcal{K}_{\text{об}} = \mathcal{E}_{\text{а.об.}} \cdot \left(\mathcal{K}_{\text{тр}} + \mathcal{K}_{\text{выкл}} + \mathcal{K}_{\pi} + \mathcal{K}_{\kappa_3} + \mathcal{K}_{\text{рз}}\right), \text{млн. тг.,}$$

$$\mathcal{U}_{\text{а}} = 0.063 \cdot (55 + 0.5 + 0.9 + 0.85 + 2.2) = 3.74 \text{ млн. тг.}$$

Амортизационные отчисления на КЛ:

$$\mathsf{M}_{\mathsf{a.KJ}} = \mathsf{E}_{\mathsf{a.KJ}} \cdot \mathsf{K}_{\mathsf{KJ}}, \mathsf{млн.} \, \mathsf{тг.},$$

$$\mathsf{M}_{\mathsf{a.KJ}} = \mathsf{0.02} \cdot \mathsf{0.07} = \mathsf{0.0014} \, \mathsf{млн.} \, \mathsf{тг.}$$

Издержки на эксплуатацию оборудования:

$$M_{\text{эксп.обор.}} = E_{\text{эксп.обор}} \cdot K_{\text{обор}}, \text{млн. тг.,}$$
(77)

$$M_{
m эксп.обор.} = 0,3 \cdot 26,45 = 7,93$$
 млн. тг.

Издержки на эксплуатацию КЛ:

$$M_{\text{эксп.КЛ.}} = E_{\text{эксп.КЛ}} \cdot K_{\text{КЛ}}, \text{млн. тг.,}$$

$$M_{\text{эксп.КЛ.}} = 0.02 \cdot 0.07 = 0.0014 \text{ млн. тг.}$$

Потери энергии при двусменном режиме работы будут  $T_{вкл} = 4000$ ч.  $T_{макс} = 4000$ ч. Значит время максимальных потерь рассчитываем по формуле:

$$\tau = (0.124 + T_{M} \cdot 10^{-4})^{2} \cdot 8760, \tag{79}$$

$$\tau = (0.124 + 4000 \cdot 10^{-4})^{2} \cdot 8760 = 2405.29$$

Потери активной энергии в трансформаторе рассчитывается по формуле:

$$\Delta W_{\text{тр.ктп}} = 2 \cdot (\Delta P_{\text{xx}} \cdot T_{\text{вкл}} + \Delta P_{\text{к3}} \cdot \tau \cdot \text{K}_3^2), \text{ кВтч}$$
(80)

$$\Delta W_{\text{тр.ктп}} = 2 \cdot (14 \cdot 4000 + 58 \cdot 2405,29 \cdot 0,36^2) = 148160 \text{ кВтч}$$

Потери электроэнергии в ЛЭП:

$$\Delta W_{\text{КЛ10}} = N \cdot 3 \cdot I_p^2 \cdot R \cdot 10^{-3} \cdot \tau$$
, кВтч (81)

$$\varDelta W_{\mathrm{KЛ10}} = 1 \cdot 3 \cdot 9,57^2 \cdot 0,27 \cdot 10^{-3} \cdot 2405,29 = 178,433$$
 кВтч

При средней стоимости электроэнергии  $C_0 = 14$ тг/кВтч,, определим издержки на потери электроэнергии:

$$\mathsf{M}_{\text{пот}} = \mathsf{C}_0 \cdot \left( \Delta W_{\text{тр.ктп}} + \Delta W_{\text{КЛ10}} \right), \text{млн. тг.}$$
 (82)

$$\mathsf{H}_{\text{пот}} = 14 \cdot (148160 + 178,433) = 2,076$$
млн. тг.

Определим суммарные издержки:

$$\Sigma H_1 = H_{\text{эксп.КЛ}} + H_{\text{пот}} + H_{\text{экс.обор.}} + H_{\text{а.КЛ}} + H_{\text{а.об}}, \text{млн, тг}$$
 (83)

$$\Sigma$$
И<sub>1</sub> = 0,0014 + 2,076 + 7,93 + 0,01 + 0,0014 = 10,016 млн. тг.

Приведенные затраты являются мерой стоимости и определяются по выражению:

$$3_1 = E \cdot K_1 + И_1$$
, млн. тг, (84)

где: Е = 0,12-нормальный коэффициент капиталовложений

$$3_1 = 0.12 \cdot 59.52 + 10.016 = 17.15$$
 млн. тг.

Таблица 3.9 – Сравнение капитальных затрат разных вариантов

Варианты	$U_{\scriptscriptstyle  m H}$ , кВ	$K_\Sigma$ тыс. е.	И $_{\Sigma}$ тыс. е.	$3_\Sigma$ тыс. е.
1	10	76,42	9,727	18,897
2	110	59,52	10,016	17,15

Таблица 3.10 – Сравнение потерь

Варианты внешнего Э/С	Потери электроэнергии МВтч			
1 вариант 10 кВ	83			
2 вариант 110 кВ	394			

Вывод: как мы можем увидеть что I вариант обходиться намного дешевле по потерям и затратам, но также нужно будет учитывать тот факт что во II варианте изначально подстанция запитывала все цеха подключенные к нему в доказательство могу предоставить полную однолинейную схему всего производство, ведь нынешнее предоставленная схема была подкорректировано под мой цех бумагоделательного производства.

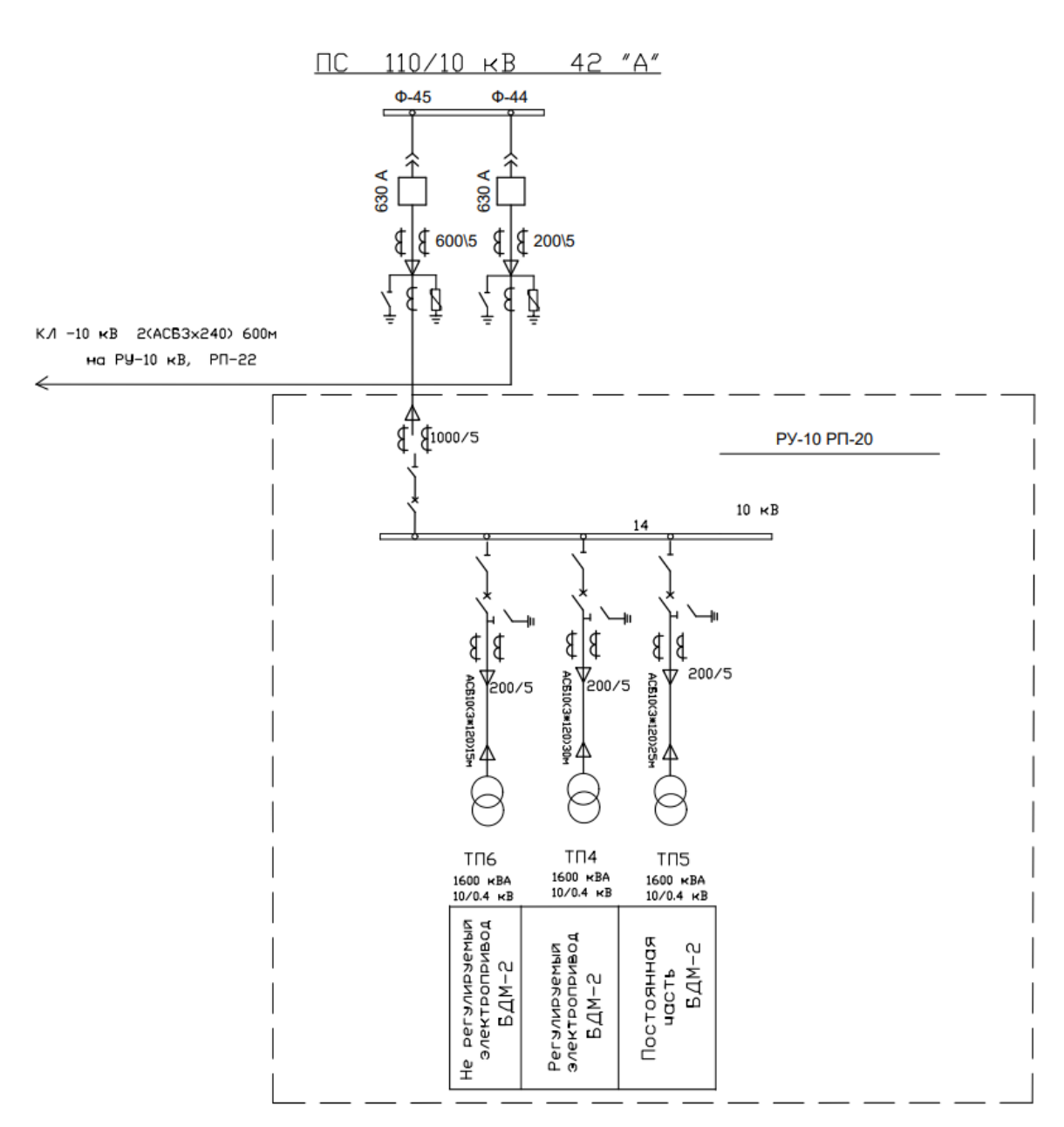


Рисунок – 4 Однолинейная схема цеха бумагоделательного производства

4 Специальная часть. Энергосберегающие технологии на предприятиях целлюлозно-бумажной промышленности.

## 4.1 Термодинамический анализ сушильной бумагоделательной машины.

Сушильная часть бумагоделательной (контактная сушильная установка) машины является наиболее энергоемким оборудованием технологического потока производства бумаги и картона. Бумагоделательная машина является большим потребителем пара низкого давления. Например, для машины БДМ2 Алматинского ЦБК, производящей газетную бумагу, удельный расход теплоты составляет 5,5\*10<sup>5</sup> ГДж/год, или 233,4 кДж/м² бумажного полотна. Производительность только одной машины составляет 2,34\*10<sup>9</sup> м²/год по выпуску бумаги. В связи с этим, представляет интерес выполнить термодинамический анализ сушильной части БДМ, как основного потребителя теплоты.

Процесс контактной сушки заключается в передаче теплоты путем разности потенциалов. В процессе сушки образуется низко потенциальная теплота, которую трудно использовать.

Целевой задачей работы являлось определение степени термодинамического совершенства отдельных узлов БДМ и распределение эксергических потерь по этим элементам. Эксергические потери, являются величиной, пропорциональной перерасходу топлива в паро-генерирующем агрегате, вызванной необратимостью теплообмена в анализируемом процессе.

Общие сведения о сушильной части БДМ.

БДМ включает себя сеточную, прессовую и сушильные части. Сеточная часть предназначена для удаления основной влаги и формования бумажного полотна. Прессовая часть — для удаления дополнительного количества влаги путем прессования. Остаточная часть влаги удаляется при сушке в сушильной части машины.

Сушильная часть анализируемой машины включает 56 бумагосушильных и один холодильный цилиндры. Сухость перед сушкой -43,5%, конечная сухость бумаги -92%. Температура бумажной массы после сеточного стола  $50\ \Box$ С. Расход сушильного воздуха  $12\ кг$  на  $1\ кг$  испаряемой воды. Производительность  $13,1\ т$  бумаги в час.

Сушильная часть машины состоит из двух рядов вращающихся сушильных цилиндров, расположенных в шахматном порядке и обогреваемых конденсирующимся паром.

Тепловой режим сушильной части обеспечивается паро-конденсатной системой, входящей в её состав. В настоящее время преимущественное применение получила групповая система теплоснабжения с каскадным распределением давления и перепуском пара по отдельным группам цилиндров.

Такая система теплоснабжения предотвращает пропуск пара в конденсатную систему.

Тепловая схема сушильной части состоит и трех функциональных групп: сушильные цилиндры, водоотделители и теплорекуперационная установка. Теплорекуперационная установка включает три агрегата, каждый из которых состоит из двух ступеней рекуперации (теплообменников) и скруббера для нагрева технологической воды. Первая ступень рекуперации обеспечивает предварительный нагрев технологического воздуха, вторая – нагрев наружного (вентиляционного) воздуха. Таким образом, частично используется низко отработавшего потенциальная теплота пара И сушильного воздуха. Рассматриваемое исследование имеет целью определить глубину рекуперации и наметить способы вернуть в технологический процесс неиспользованную теплоту.

Из прессовой части машины влажное бумажное полотно поступает в первый бумаго сушильный цилиндр. Пройдя 46 сушильных цилиндров высушенное до сухости 92% бумажное полотно выводится из сушильной части для дальнейшей переработки.

Пар с ТЭЦ поступает в систему по главному паровому коллектору через расходомер 4 и задвижку с электроприводом 3. Насыщенный пар подается с избыточным давлением 0,35 МПа. В коллекторы каждой паровой группы пар подаётся через регулирующие клапаны 2, управляемые регуляторами давлений и разности давлений. Из коллекторов групп пар поступает через запорный вентиль во внутреннюю полость каждого сушильного цилиндра.

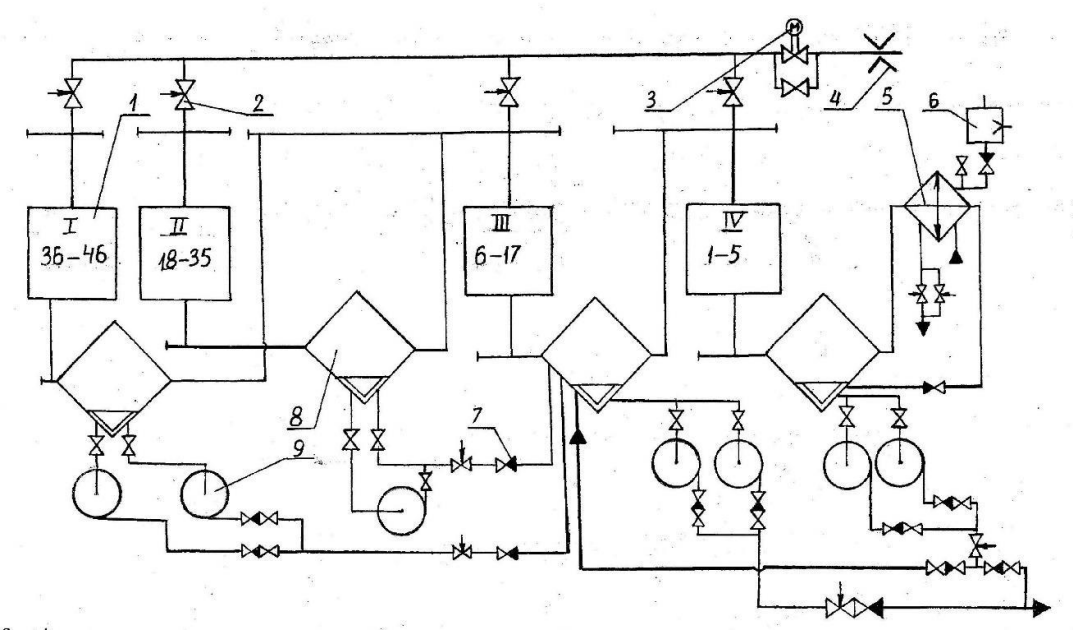
По пару все сушильные цилиндры разделены на четыре группы. Нумерация групп осуществляется по направлению движения пара, от большего давления к меньшему. Давление пара в паровых группах регулируется так, чтобы обеспечить необходимую для сушки бумаги температуру сушильных цилиндров. Группы снабжены водоотделителями 8 для сбора паро-конденсатной смеси и отделения изнеё пролётного пара и пара вскипания. В паровую группу I и в паровую группу II пар подаётся только из главного паропровода. Эти группы обеспечиваются паром одинакового Разделение произведено обеспечения давления. ДЛЯ возможности регулирования давления пара в группах. Давление в группе І регулируется по влажности бумаги на последнем бумаго-сушильном цилиндре.

Пролётный пар вместе с паром вскипания из водоотделителя первых двух групп направляется для подпитки парового коллектора группы III. Из главного паропровода через регулирующий клапан в паровой коллектор группы III поступает дополнительный пар.

Пролётный пар и пар вскипания из водоотделителя группы III направляются в паровой коллектор группы IV, куда поступает и дополнительный пар из главного паропровода. Пар из водоотделителя группы IV конденсируется в теплообменнике-конденсаторе 5, с которым соединён вакуумный насос 6.

Вакуум-насос удаляет из паро-конденсатной системы воздух и

неконденсирующиеся газы, как при пуске машины, так и в условиях постоянной эксплуатации и поддерживает заданную разность давлений между паровым конденсатным коллекторами группы IV.



1 - паровая группа I; 2 - регулирующий клапан; 3 - задвижка с электроприводом; 4 - расходомер; 5 - теплообменник-конденсатор; 6 - вакуум-насос; 7 – обратный клапан; 8 – водоотделитель; 9 – конденсатный насос

## Рисунок 5 - Принципиальная аппаратурно-технологическая схема сушильной части БДМ:

Конденсатные насосы 9 и обратные клапаны 7 обеспечивают стабильноеудаление конденсата из системы.

Конденсат из водоотделителей паровых групп III и IV направляется в общийконденсатный бак комбината, а из него – в ТЭЦ.

Из сушильных цилиндров паро-конденсатная смесь удаляется с помощьюнеподвижных сифонов.

### 4.2 Тепловой расчет сушильной части бумагоделательной машины

Таблица 4.1 - Распределение энергии по функциональным частям БДМ

	Сеточная часть		Прессои	зая часть	Сушильная		
Наименование			Прессоі	зал часть	часть		
параметра	привол	вакуум-	привод	вакуум-	электро-	пар	
	привод	насосы	привод	насосы	энергия		
Распределение энергии, %	- 1 () 1		6	11	3	69	
Удаляемая влага, %	97,2		2	,1	0,7		

Анализ результатов, приведенных в таблице 4.1, позволяет сделать вывод, что в сушильной части машины удаляется всего 0,7% от общего количествавлаги, удаляемой в бумагоделательной машине. Количество затрачиваемой энергии на удаление этой влаги составляет 72% от общей подведенной энергии. Из них 69% - затраты энергии в виде пара низкого давления.

Для термодинамического анализа сушильной части БДМ необходимо составить баланс массы и энергии, а также распределения эксергий взаимодействующих тепловых потоков. Результаты теплового баланса приведены на диаграмме (рисунок). Из анализа этих результатов следует, что основной составляющей отвода теплоты в окружающую среду является паровоздушная (ПВС) смесь, выводимая из рекуперативной установки. Тепловой поток вносится в сушильные цилиндры не только с паром. Источниками теплоты являются сушильный воздух из зала, а также теплота, вносимая с бумагой. Размерность величин в диаграмме - кДж/кг испаряемой воды.

Анализ статей тепловых потерь теплового баланса показывает, что в окружающую среду отводится 2628 кДж/кг испаряемой воды — 60 % от подводимой энергии, 1235 кДж/кг испаряемой воды отводится в скруббере — 28 %. На внутреннюю регенерацию теплоты (на нагрев воздуха) направляют лишь 528 кДж/кг испаряемой воды, т.е. 12 % к подведенной теплоте.

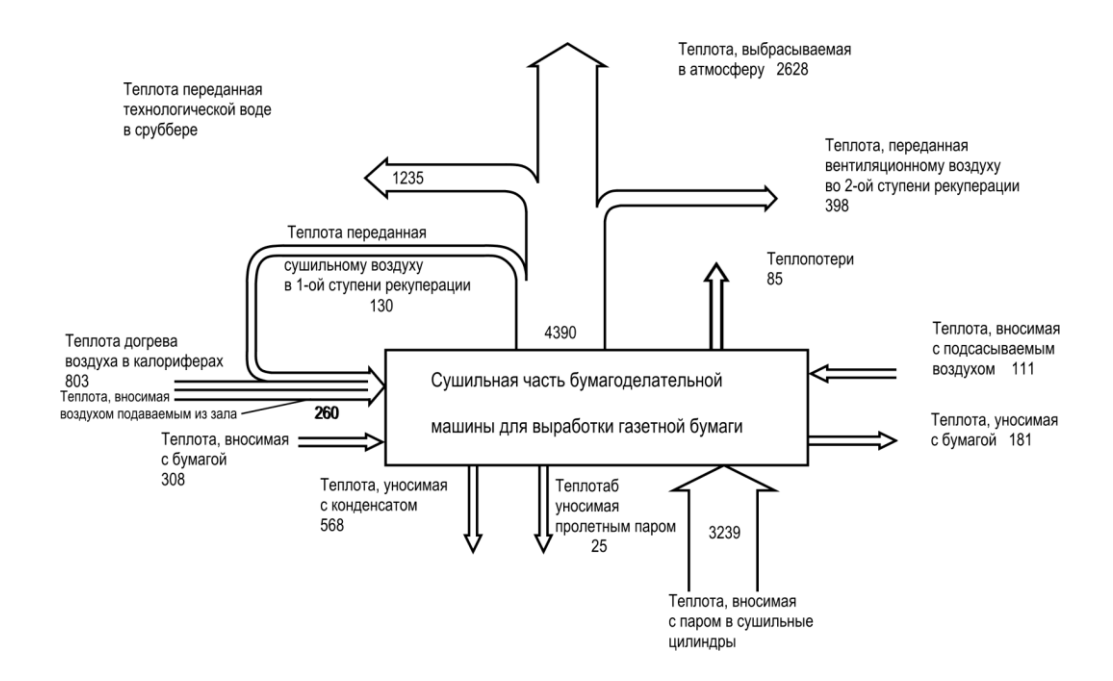


Рисунок 6 - Тепловой баланс сушильной части БДМ

Полученные результаты не дают полной достоверной информации о степени термодинамического совершенства системы. Для этого при анализе необходимо дополнительно использовать, наряду с первым, второй закон термодинамики. Такую возможность представляет эксергетический анализ работы теплоиспользующих элементов тепловой системы сушильной части БДМ.

## 4.3 Эксергетический баланс сушильной части бумагоделательной машины

Эксергетические коэффициенты полезного действия функциональных групп сушильной части БДМ составили: сушильные цилиндры — 84,4 %, водоотделители — 98 %, теплорекуперационная установка — 57,5 %. В таблице

3.14 эксергетические характеристики тепловых процессов указаны с учетом отвода теплового потока в окружающую среду, в скобках указаны величины без учета тепловых потерь.

Общий эксергетический КПД тепловой системы сушильной части составляет 52,68 %. Несмотря на высокий КПД процесса в водоотделителях (98 %), эксергия, подведенная к этому процессу составляет лишь 5,6 % от общей подведенной эксергии в систему. Поэтому его влияние на общий КПД системы незначительно.

Из других составляющих отметим процесс в сушильных группах. Эти процессы характеризуются достаточно высоким эксергетическим КПД (84,4 %) и существенной долей подведенной эксергии, составляющей 35,4 % от общей подведенной эксергии. И последняя составляющая — теплорекуперационая

установка, характеризующаяся низким эксергетическим КПД (57,5 %) при доле, затраченной эксергии 30 % от общей подведенной в схему. Этот процесс характеризуется высокой необратимостью и соответственно низким эксергетическим КПД. Обращает внимание большой разрыв между эксергетическим КПД без учета отвода теплоты в окружающую среду и с учетом отвода теплового потока в окружающую среду.

Анализ составляющих эксергетического баланса позволяет выделить основные направления повышения степени термодинамического совершенства технологического процесса в сушильной части БДМ:

1 Повышение эксергетического КПД теплорекуперационной установки. Анализ статей эксергетического баланса показывает, что эксергетический КПД и доля затраченной эксергии в этом процессе к общей подведенной эксергии в

системе составляет  $\eta = 57,5\%$  и  $\gamma = 30\%$ , соответственно.

- 2 Снижение величины тепловых потоков, отводимых в окружающую среду. Как следует из теплового баланса, 60 % тепловых потоков отводится в окружающую среду.
- 3 Повышение потенциала сушильного воздуха в процессе поглощения им влаги в сушильной части БДМ.
- 4 Повышение сухости бумажного полотна, поступающего на сушку. Разработка наиболее совершенных схем утилизации низкопотенциальной теплоты ПВС.

Практическая реализация модернизации сушильной части БДМ в указанных направлениях возможна на основе проработки следующих технических решений:

- интенсификация работы теплообменников с соответствующим снижением недогрева между нагреваемым воздухом и удаляемой паровоздушной смесью, что позволит увеличить эксергетический КПД теплорекуперационной установки.
- разработка замкнутого или почти замкнутого цикла ПВС сушильной части БДМ;
  - применение теплонасосных установок в вентиляционной системе БДМ;
- повышение потенциала сушильного воздуха путём оптимизации температуры воздуха, направляемого под колпак БДМ и температуры исходного воздуха;
- повышение сухости бумажного полотна, например, путём ввода ПАВ в исходную суспензию;
- разработка наиболее совершенных схем регенерации теплоты низкого потенциала паровоздушной смеси.

Предлагаемые технические решения не являются исчерпывающими. Они могут рассматриваться как возможные варианты модернизации сушильной части БДМ.

Таблица - Эксергетические характеристики функциональных групп в сушильной части с учётом потерь (без учёта потерь)

## 4.4 Энергосбережение в сушильной части бумагоделательной машины

Эксергетический анализ сушильной части БДМ показал низкую эффективность работы традиционной схемы теплорекупе- рационной установки –  $\eta_e = 57,5\%$ .

В основе предложенного способа повышения эксергетического КПД теплорекуперационной установки содержатся следующие положения:

- 1 Глубокая внутренняя регенерация теплоты ПВС для нагрева исходного воздуха. Этот процесс протекает с конденсацией водяных паров при охлаждении ПВС. Повышение степени внутренней регенерации теплоты позволит увеличить эксергетический КПД теплорекуперационной установки и снизить потери теплоты в окружающую среду, величина которых в традиционном процессе составляет до 60 % к общей подведенной теплоте.
- 2 Организация замкнутого цикла по воздуху. При таком подходе воздух в основном несёт технологическую нагрузку, т.е. является транспортным агентомв переносе влаги и теплоты по замкнутому контуру.

Эксергетический анализ схемы теплорекуперационной установки БДМ с замкнутым циклом сушильного воздуха. На рисунке 4.1 предложена принципиальная схема теплорекуперационной установки БДМ с замкнутым циклом сушильного воздуха и термодинамические процессы в ней.

ПВС с температурой 100 □С, удаляемая из-под изолированного колпака 1, закрывающего сушильную часть машины (сушильную камеру), направляется в теплообменник ТУ 2. Из теплообменника ПВС выходит при температуре насыщения 45 □С и направляется в теплообменник смешения ТС — концевой холодильник 3, откуда при температуре 25 □С осушенный и охлаждённый воздух возвращается в ТУ 2. Часть осушенного воздуха, равная по массе холодному воздуху, используемому в теплообменнике смешения, удаляется в зал бумагоделательной машины. В теплообменнике 2 воздух нагревается до80 □С, затем поступает в калорифер 4, где его температура повышается до 100 □С — температуры, необходимой для технологического процесса сушильнойустановки. В концевом холодильнике 3 температура воздуха снижается за счёт добавления в него наружного воздуха. В летний период следует использовать холодильную машину.

1 - закрытый колпак над сушильной частью; 2 — теплообменник ТУ; 3 —теплообменник смешения ТС (концевой холодильник); 4 — калорифер; 5 — центробежный вентилятор.

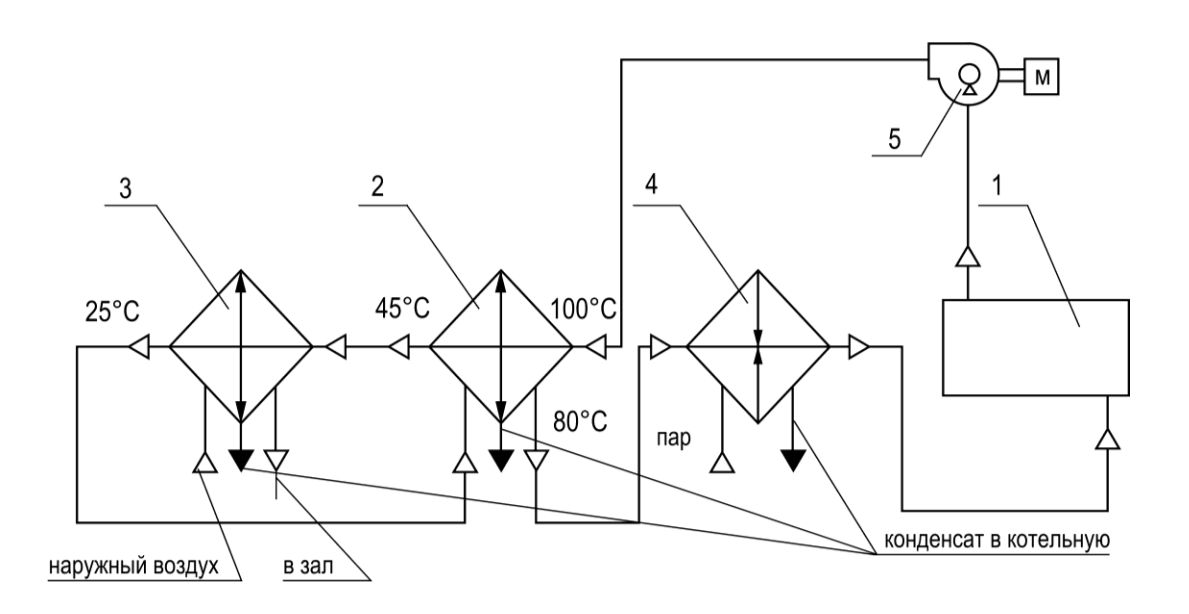
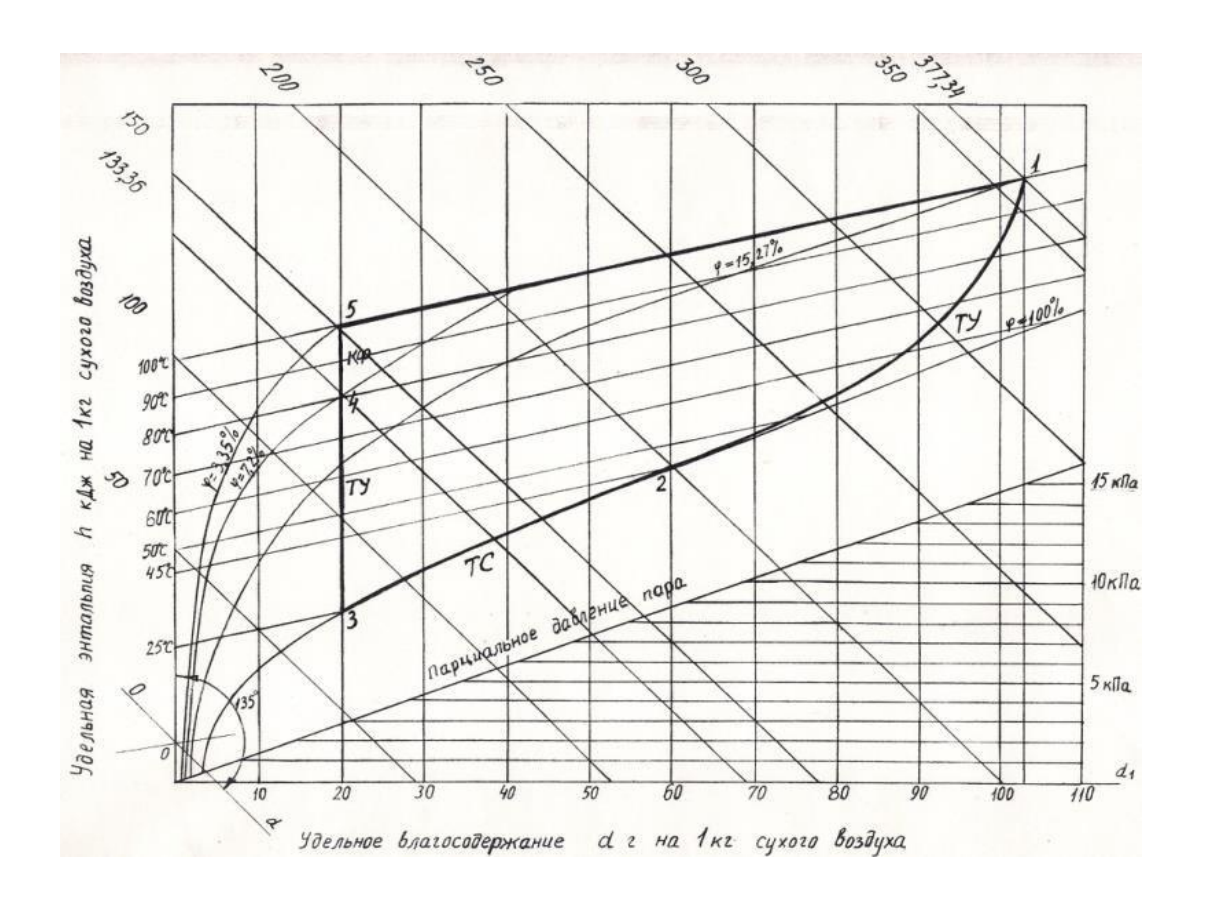


Рисунок 7 - Схема замкнутого цикла сушильного воздуха

Влага, выделяемая из полотна в процессе контактно-конвективной сушки, поглощается сушильным воздухом и удаляется из теплообменников. Вся теплота, выделенная при конденсации греющего пара в цилиндрах, за исключением теплоты, уносимой нагретым бумажным полотном, воспринимается воздухом и используется в теплообменниках рекуперативного контура ТУ и ТС. Циркуляция воздуха обеспечивается центробежным вентилятором 5.



# Рисунок 8 - Термодинамические процессы сушильного воздуха при замкнутом цикле

- 1-2 охлаждение сушильного (технологического) воздуха в теплообменнике ТУ до 45 C, d = 60 г/кг сух. воздуха; 2-3 охлаждение сушильного (технологического) воздуха в теплообменнике смешения (концевом холодильнике) до 25 C, d = 20 г/кг сух. воздуха;
- 3-4- нагрев осушенного и охлаждённого воздуха в теплообменнике ТУ до  $80~\mathrm{C}$ ;
- 4-5 нагрев осушенного воздуха в калорифере до  $t=100~\mathrm{C};~5\text{-}1~\mathrm{U}$  изменение параметров воздуха в сушильной камере до  $t=100~\mathrm{C},~d=103~\mathrm{F/kr}$  сух. воздуха

Результаты расчётов по традиционному способу при разомкнутом движении воздуха приведены в гл.3. Анализ приращений эксергии показывает, что практически все элементы теплового процесса характеризуются низкими значениями эксергетических КПД. Так первая ступень регенерации теплоты характеризуется КПД 43,96 % при подводе эксергии в процесс 4,7 %. Тепловой процесс в калорифере 1 – 51,75 % при подводе эксергии 34,4 % от подведенной в процесс. Эксергетический КПД теплового процесса во второй ступени регенерации теплоты составляет 20,87 % при подведенной эксергии в этот процесс — 34 %. Тепловой процесс в калорифере 2 характеризуется эксергетическим КПД 2,95 % при 16,6 % подведенной эксергии в этот процесс. Тепловой процесс в скруббере характеризуется эксергетическимКПД 18,69 % при подведенной эксергии в процесс 35,8 %.

Суммарная эксергия, затраченная в теплорекуперационной установке БДМ 2 Алматинского ЦБК  $Eoi=2322,79\,$  кВт. Общий эксергетический КПД i рассматриваемого теплового процесса очень низкий и составляет величину 28,6 %.

Эксергетические характеристики теплового процесса по предлагаемому способу приведены в таблице 4.2.

Таблица 4.2 - Характеристики теплорекуперационной установки сушильной части БДМ2 при замкнутом цикле движения сушильного воздуха

Эксергетические характеристики	Теплообменни к регенеративног о контур а	Концево й холодил ь- ник	Калорифер
Тепловой поток, $\Delta Q_{i,}$ кВт	2947,9 8	1071,9 9	1071,99
Термодинамическая температура нагрева, T <sub>Hi</sub> , K	325,5	289	363
Приращение воспринятой эксергии, $\Delta E_{\text{н}}$ , кВт	412,08	33,38	245,11
Термодинамическая температураохлаждения, $T_{Oi}K$	345,5	308	437,17
Приращение затраченной эксергии, $\Delta E_o$ , кВт	558,88	97, 45	385,4
Эксергетический КПД элементов, $\eta_{i}$ , %	73,73	34,26	63, 60
Доля затраченной эксергии, $\gamma_i$	0,5364 9	0,0935 5	0,36996
Доля в общем КПД элементов, $\eta_i$ - $\gamma_i$ , %	39,555	3,205	23,529

Суммарная эксергия, затраченная в теплорекуперационной установке при замкнутом цикле движения сушильного воздуха  $E_{Oi}=1041,73\,$  кВт, и общий эксергетический КПД установки —  $66,29\,$ %.

Таким образом, эксергетический КПД процессов в теплорекуперационной установке сушильной части БДМ 2 Алматинского ЦБК составляет 28,6 % против 66,29 % в предложенном способе.

Для оценки предложенного способа рекуперации теплоты выполнен эксергетический анализ тепловой системы сушильной части БДМ 2 при замкнутом цикле сушильного воздуха. Результаты анализа приведены в таблице 4.3.

Таблица 4.3 - Эксергетический анализ тепловой системы сушильной части БДМ 2 Алматинского ЦБК при замкнутом цикле сушильного воздуха

Эксергетические	Группы сушильных цилиндров			Водоотделител и			TV	Кало-		
характеристики	1тр	1бр	2	3	1	2	3	ТУ	рифер	холод и льни к
Тепловой поток, $\Delta Q_i$ , к $B$ т	1891	2412	539 7	684	689	863	118	2948	1072	1072
Приращение вос- принятой эксергии, $\Delta E_{\text{н i,,}}$ кВт	519	541, 3	109 8	113	198	240	29,1	412,	245,1	33,4
Термодинамическая температура охлаждения, $T_{0i}$ , $K$	398	398	393	388	398	390	388	346	437	308
Приращение затраченной эксергии, $\Delta E_{o i,,}$ кВт	562	717	154 8	190	205	244	32,7	559	385	97,5
Эксергетический КПД элементов, η i, %	92	75,4 7	70,9	59,6	96,5	98,3	89,2	73,7	63,6	34,3
Доля затраченной эксергии, $\gamma_i$	0,12	0,15 5	0,34	0,04	0,04	0,05	0,00	0,12	0,084	0,021
Доля в общем КПД элементов, $\eta_i \cdot \gamma_i$ , %	11,3	11,7 4	23,8	2,45	4,29	5,2	0,6	8,9	5,3	0,72

Общий эксергетический КПД i установки — 74,35% при среднегодовой температуре окружающей среды на Алматинский ЦБК  $T_0 = 280$ К.

Анализ эксергетических характеристик в сушильной части, действующей БДМ 2 и при замкнутом цикле технологического воздуха в сушильной части машины, позволяет сделать следующие выводы:

наименьшими величинами эксергетических КПД характеризуется третья группа сушильных цилиндров (59,6 %), калорифер (63,6 %) и концевой холодильник (34,3 %). Однако, суммарная доля затраченной эксергии в них составляет около 12 % от общей затраченной эксергии. Поэтому их влияние на общий КПД сушильной части БДМ незначительно. Общий эксергетический КПД сушильной части БДМ при замкнутом цикле сушильного воздуха составит величину 74,35 %. Эксергетический КПД сушильной части БДМ составляет величину 52,6 %. Существенного повышения эксергетического КПД удалось обоснованной достигнуть путем научно технологии теплоты В теплорекуперационной установке при замкнутом цикле движения воздух.

#### **ЗАКЛЮЧЕНИЕ**

Тема дипломной работы «Электроснабжение цеха бумагоделательного производства».

Питание фабрики осуществлено глухой отпайкой от транзитной двух цепной  $ЛЭ\Pi-115$  кВ.

Расчетные нагрузки цехов определены по методу коэффициента спроса. Расчетная нагрузка по фабрике  $S_p=4623,\!28\,$  кВА. По результатам технико-экономического расчета был первый вариант электроснабжения. Были выбраны силовые трансформаторы типа ТСЗЛ-1600. Были выбраны трансформаторы КТП ТДН-10000/110. Питающие линии марки АС-70. На территории цеха расположены 3 трансформаторные подстанции.

Сделан расчет токов короткого замыкания на шинах КТП и РП. На основании этих данных были выбраны выключатели на различных участках цепи.

В специальной части был сделан эксергетический анализ схемы теплорекуперационной установки БДМ с замкнутым циклом сушильного воздуха.

Был сделан технико-экономический расчет двух вариантов снабжения: ЛЭП-110 кВ и ЛЭП-10 кВ. По результатам расчета были выбраны экономически целесообразный и выгодный вариант — ЛЭП 10 кВ. Не были рассчитаны показатели финансовой эффективности: срок окупаемости проекта, внутренняя норма прибыли так как, нам не были переданы документы, точно подтверждающие потребление электроэнергии ЦБК и ныне используемое оборудование. Поэтому расчет окупаемости проекта не был рассчитан.

Учитывая все сделанные расчеты и анализы по схеме снабжения цеха бумагоделательного производства, можно заключить, что в целом предложенная схема электроснабжения отвечает требованиям безопасности жизнедеятельности надежности использования и экономичности.

### СПИСОК ИСПОЛЬЗОВАННОЙ ЛИТЕРАТУРЫ

- 1 Внутри площадные кабельные сети 10 кВ «ЭЛМО» ГСЛ №000015 2002 г. Алматы.
- 2 Луканин П.В. диссертация «Энергосберегающие технологии на предприятиях целлюлозно-бумажной промышленности».
- 3 Федоров А.А, Ристхейн Э.М. Электроснабжение промышленных предприятий: Учебник для ВУЗов. М.: Энергия, 1981. 360с.
  - 4 Ермилов А.А. Основы электроснабжения промышленных предприятий.
  - M.: Энергоатомиздат, 1983. 208c.
- 5 Князевский В.Н. Основы электроснабжения промышленных предприятий: Учебник для ВУЗов. М.: Энергия, 1986. 408с.
- 6 Неклепаев Б.Н, Крючков И.П. Электрическая часть станций и подстанций: Справочные материалы. М.: Энергия, 1986. 465с.
- 7 Барыбин Ю.Г, Федоров Л.Е. Справочник по проектированию электрических сетей и электрооборудования. М.: Энергоатомиздат, 1991. 465с.
- 8 Федоров А.А. Справочник по проектированию промышленных предприятий. М.: Энергия, 1991. 370с.
- 9 Кудрин Б.И. Электроснабжение промышленных предприятий: Учебник для студентов высших учебных заведений/ Кудрин Б.И. -М.: Интенмет Инжиринг, 2005.-672 с.
- 10 Неклепаев Б.И., Крючков И.П. Электрическая часть станций и подстанций. Справочные материалы для курсового и дипломного проектирования. М.: Энергоатомиздат, 1988. 608с.

#### МИНИСТЕРСТВО ОБРАЗОВАНИЯ И НАУКИ РЕСПУБЛИКИ КАЗАХСТАН СӘТБАЕВ УНИВЕРСИТЕТІ

#### РЕЦЕНЗИЯ

на дипломную работу (наименование вида работы)

(masserosame seas pacora)
Мұхамеджанов Тимур Ержанұлы
(Ф.И.О. обучающегося)
5В071800 - «Электроэнергетика»
(шифр и наименование специальности)
На тему: "Электроснабжение цеха бумагоделательного производства ТОО «Кадагу
Recycling»"
Выполнено;
а) графическая часть на листах
б) пояснительная записка на страницах
o) november summer and
ЗАМЕЧАНИЯ К РАБОТЕ
В дипломной работе рассмотрены вопросы электроснабжения цеха
бумагоделательного производства. Осуществлен расчет электрических нагрузок, выбор
трансформатора, электрического оборудования, высоковольтной аппаратуры, а также
обоснована рациональность выбранной схемы внешнего электроснабжения.
Работа посвящена электроснабжению сложного технологического процесса
бумагоделательного производства. В технологической части представлено оборудование и
технологический цикл цеха.
Дипломная работа предполагает использование для обеспечения энергией цеха
бумагоделательного производства современных средств и оборудования, позволяющих
значительно повысить надёжность и живучесть системы электроснабжение.
Студент Мұхамеджанов Тимур выполнил работу согласно полученного задания
качественно и квалифицированно. Показал хорошие знания в области проектирования
систем электроснабжения. Грамотно и обоснованно осуществил выбор системы
электроснабжения, электрических аппаратов и электрических машин.
В специальной части Мухамеджанов Т. рассмотрел вопросы энергосберегающих
технологий на предприятиях целлюлозно-бумажной промышленности произвел анализ
сушильной части бумагоделательной машины. Произвел тепловой расчет сушильной
части бумагоделательной машины. Привел к выводу выгодное энергосбрежение в
сушильной части машины.
Расчеты и выбор электрической аппаратуры выполнены грамотно. К недостаткам
работы можно отнести некоторые стилистические ошибки в тексте, которые впоследствии
были устранены после замечаний.
Оценка работы
В целом, работа представлена завершенной и данную дипломную работу оцениваю
на %, а при уенешной защите студент Мұхамеджанов Тимур достоин присвоения
академической етенени бакалавра по специальности 5В071800 - «Электроэнергетика».
Рецензент водения доцент, кант техн вауко
почент каритехи пако
доцент, картитем вауко Подпись заверяю
(должност), участенство Эксине Совет ПОсунова С.А.
mound the state of
((94)) 0 3 таков 3 2022 г. 2022 г. 3 тыс. жен
"

Ф КазНИТУ 706-17. Рецензия

#### Протокол

о проверке на наличие неавторизованных заимствований (плагиата)

Автор: Мұхамеджанов Тимур Ержанұлы
Соавтор (если имеется):
Тип работы: Дипломная работа
Название работы: Электроснабжения цеха бумагоделательно производства ТОО «Kagazy Recycling»
Научный руководитель: Кайрат Баянбаев
Коэффициент Подобия 1: 0.1
Коэффициент Подобия 2: 0
Микропробелы: 70
Знаки из здругих алфавитов: 59
Интервалы: 114
Белые Знаки: 0
После проверки Отчета Подобия было сделано следующее заключение:
☑ Заимствования, выявленные в работе, является законным и не является плагиатом. Уровень подобия не превышает допустимого предела. Таким образом работа независима и принимается.
□ Заимствование не является плагиатом, но превышено пороговое значение уровня подобия. Таким образом работа возвращается на доработку.
□ Выявлены заимствования и плагиат или преднамеренные текстовые искажения (манипуляции), как предполагаемые попытки укрытия плагиата, которые делают работу противоречащей требованиям приложения 5 приказа 595 МОН РК, закону об авторских и смежных правах РК, а также кодексу этики и процедурам. Таким образом работа не принимается.
Побоснование: Проведанний анализ на срименается с текта динголений регота подтвернает се достатиную ушилиються. Недаксиние завинет совирия стируствуют Дата 25.05.2022 М. Ванибаев К.А.
проверяющий эксперт

#### МИНИСТЕРСТВО ОБРАЗОВАНИЯ И НАУКИ РЕСПУБЛИКИ КАЗАХСТАН СӘТБАЕВ УНИВЕРСИТЕТІ

#### ОТЗЫВ

#### НАУЧНОГО РУКОВОДИТЕЛЯ

на дипломную работу (наименование вида работы) Мұхамеджанова Тимура (Ф.И.О. обучающегося) 5В071800 - «Электроэнергетика»

(шифр и наименование специальности)

Тема:

Электроснабжения цеха бумагоделательного производства TOO «Kagazy Recycling».

Дипломная работа Мұхамеджанова Тимура посвящена вопросам электроснабжения цеха бумагоделательного производства. В процессе дипломного проектирования Мұхамеджанов Т. ознакомился с технологическим циклом бумагоделательного производства ТОО «Кадаzy Recycling», произвел расчет электрических нагрузок, выбор трансформатора, электрического оборудования, высоковольтной аппаратуры, а также на основе расчетов обосновал рациональность выбранной схемы внешнего электроснабжения.

В технологическом разделе Мұхамеджанов Т. рассмотрел процесс бумагоделательного производства. Привел состав оборудования, их технические характеристики.

В основной части опираясь на данные, полученные в технологическом разделе, произведен расчет электрических нагрузок по цеху. Произведены необходимые электрические расчеты для выбора основного силового и вспомогательного электрооборудования. Рассмотрены два варианта схем внешнего электроснабжения и выбран оптимальный вариант.

Дипломное проектирование осуществлял в тесном сотрудничестве с техническим департаментом ТОО «Kagazy Recycling». Мұхамеджанов Т. проявил свои прочные знания и навыки в проектировании сетей электроснабжения.

В процессе проектирования было указано на необходимость дополнения в специальной части по энергосбережению. Необходимые изменения и дополнения им были произведены.

Дипломную работу оцениваю на 92%. Студента Мұхамеджанова Тимура предлагаю признать достойным присвоения академической степени бакалавра по специальности 5В071800 - «Электроэнергетика».

Научный руководитель

сениор-лектор

(подпись)

( должность, уч. степень, звание)

Баянбаев К.А.

«24» мая 2022 г.

Ф КазНИТУ 706-16. Отзыв научного руководителя

#### Протокол

### о проверке на наличие неавторизованных заимствований (плагиата)

о проверке на наличие неавторизованных заиметвования (плагната)
Автор: Мұхамеджанов Тимур Ержанұлы
Соавтор (если имеется):
Тип работы: Дипломная работа
<b>Название работы:</b> Электроснабжения цеха бумагоделательно производства ТОО «Kagazy Recycling»
Научный руководитель: Кайрат Баянбаев
Коэффициент Подобия 1: 0.1
Коэффициент Подобия 2: 0
Микропробелы: 70
Знаки из здругих алфавитов: 59
Интервалы: 114
Белые Знаки; 0
После проверки Отчета Подобия было сделано следующее заключение:  ☐ Заимствования, выявленные в работе, является законным и не является плагиатом. Уровень подобия не превышает допустимого предела. Таким образом работа независима и принимается.  ☐ Заимствование не является плагиатом, но превышено пороговое значение уровня подобия. Таким образом работа возвращается на доработку.  ☐ Выявлены заимствования и плагиат или преднамеренные текстовые искажения (манипуляции), как предполагаемые попытки укрытия плагиата, которые делают работу противоречащей требованиям приложения 5 приказа 595 МОН РК, закону об авторских и смежных правах РК, а также кодексу этики и процедурам. Таким образом работа не принимается.  ☐ Обоснование:  ☐ Обоснование:  ☐ Собоснование:  ☐ Ветущее Ветушее В
Дата 25.05,2022  Заведующий кафедрой Carcen Socol E